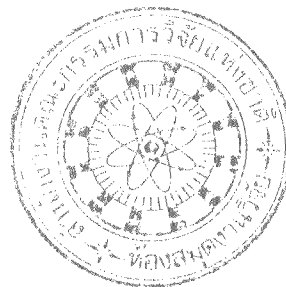
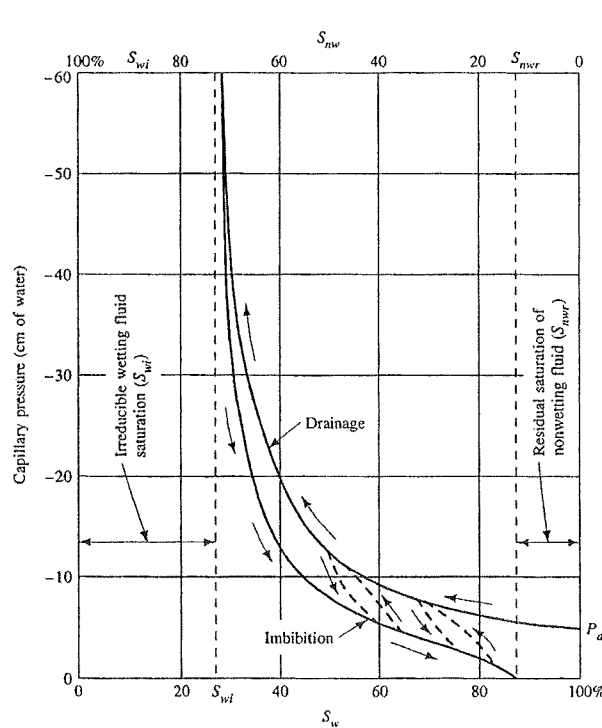


บทที่ 3 เส้นโค้งคุณลักษณะของน้ำมันบนชินและก้าชโซล

3.1 เส้นโค้งคุณลักษณะของดินกับน้ำ

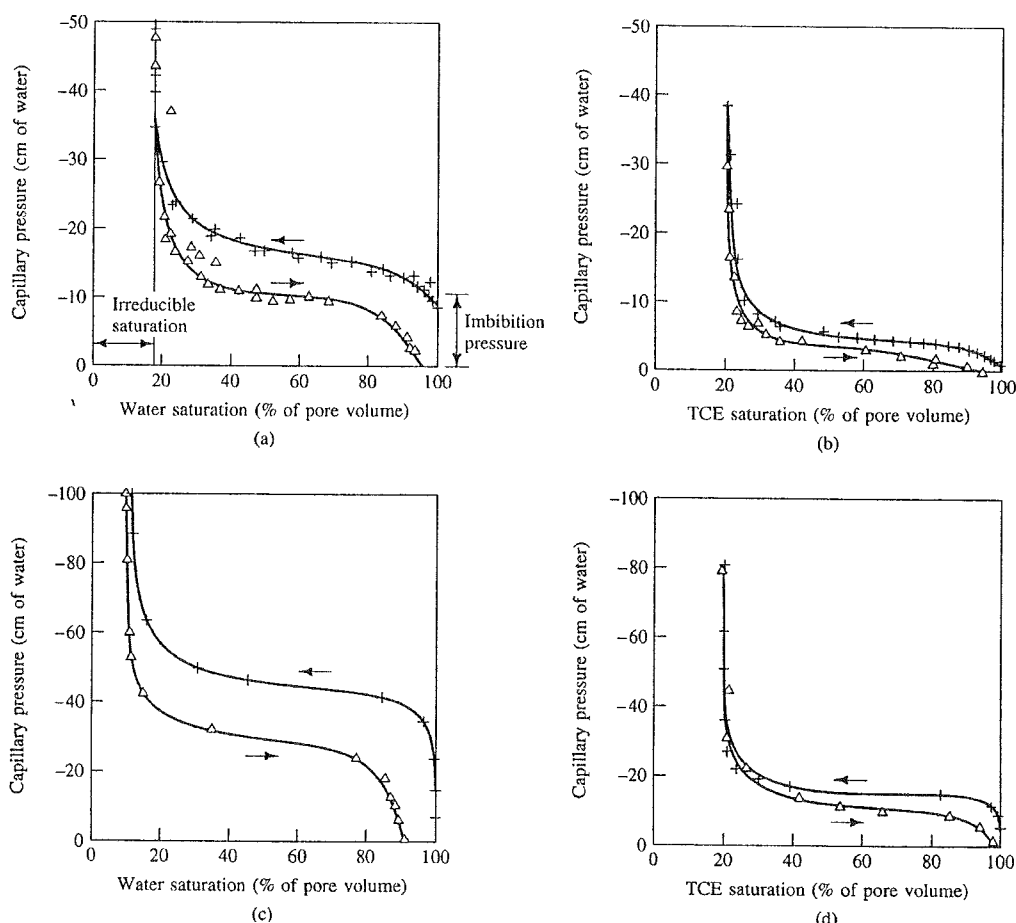
เส้นโค้งคุณลักษณะของดินกับน้ำ (Soil Water Characteristic Curve: SWCC) เป็นส่วนสำคัญของการแสดงความสัมพันธ์ในชั้นดินที่ไม่อิ่มตัวด้วยน้ำ (vadose zone) โดยจะอธิบายถึงความสัมพันธ์ระหว่าง soil suction และ soil water content เส้นโค้งลักษณะเฉพาะของดินกับน้ำ (SWCC) ยังได้แสดงความสัมพันธ์ช่องว่างของเม็ดดินไปจนถึงค่าการดูดซึมของน้ำโดยกระบวนการของดิน ณ ที่สภาวะความสัมพันธ์ที่มีปริมาณ water content ต่ำ จะมีค่าความสัมพันธ์ต่างไปด้วย ส่วนสภาวะที่มีปริมาณ water content สูง จะมีความแตกต่างระหว่างช่องว่างของเม็ดดินและน้ำอิสระที่ลดต่ำลง ค่าความสัมพันธ์ของ soil suction จะลดต่ำลง เมื่อช่องว่างระหว่างเม็ดดินสามารถเข้าสู่ความสมดุลแล้ว น้ำอิสระกับ soil suction จะเกิดสมดุลจนถึงช่วงจุดที่เป็นค่า 0 เส้นโค้งลักษณะเฉพาะดินกับน้ำยังสามารถอธิบายความแตกต่างของ wetting characteristic curve and drying characteristic curve ที่เกิดขึ้นได้



รูปที่ 3-1 เส้นโค้งคุณลักษณะของดินกับน้ำ (Fetter, 1999)

จากรูปที่ 3-1 สามารถเรียกอีกอย่างว่ากราฟ Soil water retention curve หรือกราฟ Capillary pressure curve เป็นกราฟที่แสดงความสัมพันธ์ระหว่าง Capillary pressure และการอิ่มตัวด้วยน้ำ (Saturation) ของดิน

ชั้งสามารถหาได้จากการทดลองโดยทำให้ดินอิ่มตัวด้วยน้ำหรืออยู่ในสภาพที่เปียก หรือเรียกว่า Wetting fluid saturation, S_w จากนั้นจึงค่อยๆ ทำให้ดินแห้งในสภาพแห้ง โดยเพิ่มความดันเพื่อให้น้ำไหลออก (Drainage) จน P_d คือจุดที่ความดันสามารถทำให้น้ำเริ่มไหลออกเรียกว่า Displacement imbibitions bubbling pressure หรือ Air entry value เมื่อน้ำเริ่มไหลออกก็จะทำให้ค่าของ Wetting fluid saturation, S_w น้อยลงเรื่อยๆ และสภาพของดินจะเปลี่ยนจากสภาวะจากดินที่อิ่มตัวด้วยน้ำ เป็นสภาวะที่ดินไม่อิ่มตัวด้วยน้ำ หรือเรียกว่า Nonwetting fluid saturation, S_{nw} จนเส้นการแห้ง (Drying curve) ขึ้นเป็นแนวตรง แสดงว่าที่ความดันสูงกว่านี้ก็ไม่สามารถทำให้น้ำไหลได้ เนื่องจากมีแรงดันค้าปลาสติกทำให้มีน้ำเกาะอยู่ที่ผิวดินเมื่อดินโดยระยะของแนวตรงถึงเส้นแกน Y เรียกว่า Irreducible wetting fluid saturation, S_{wi} ส่วนเส้นการเปียก (Imbibitions or wetting curve) คือการทำให้ดินไม่อิ่มตัวด้วยน้ำเปลี่ยนเป็นสภาวะที่ดินอิ่มตัวด้วยน้ำโดยการทำให้น้ำซึมเข้าไปในชั้นดินอิ่มตัว แต่ค่าของ Wetting fluid saturation, S_w จะได้ค่าน้อยกว่าเดิมเนื่องจากน้ำที่เข้าไปแทนที่ในช่องว่างของเม็ดดินไม่สามารถໄล้ออากาศที่ขังอยู่ในช่องว่างระหว่างเม็ดดินได้ทั้งหมด จึงไม่สามารถทำให้ค่า Wetting fluid saturation, S_w กลับเป็นเหมือนสภาพเดิม โดยค่าความแตกต่างนี้เรียกว่า Residual saturation of nonwetting fluid saturation, S_{nwr}

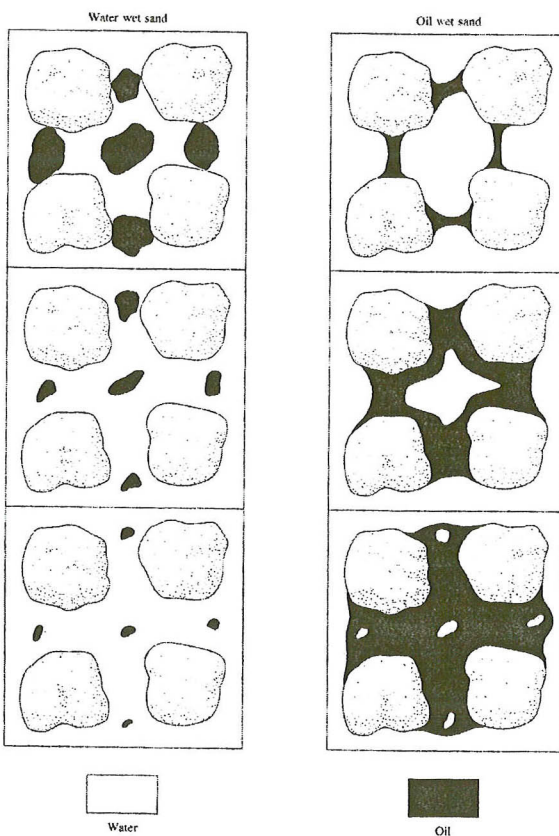


รูปที่ 3-2 ตัวอย่างกราฟ Soil water characteristic curve (Fetter, 1999)

จากรูปที่ 3-2 เป็นตัวอย่างกราฟ Soil Water Characteristic Curve กราฟ (a) น้ำและอากาศใน Medium sand (b) อากาศและสาร LNAPL (Trichloroethylene) ใน Medium sand (c) น้ำและอากาศ ใน Fine sand และ (d) อากาศและสาร LNAPL (Trichloroethylene) ใน Fine sand

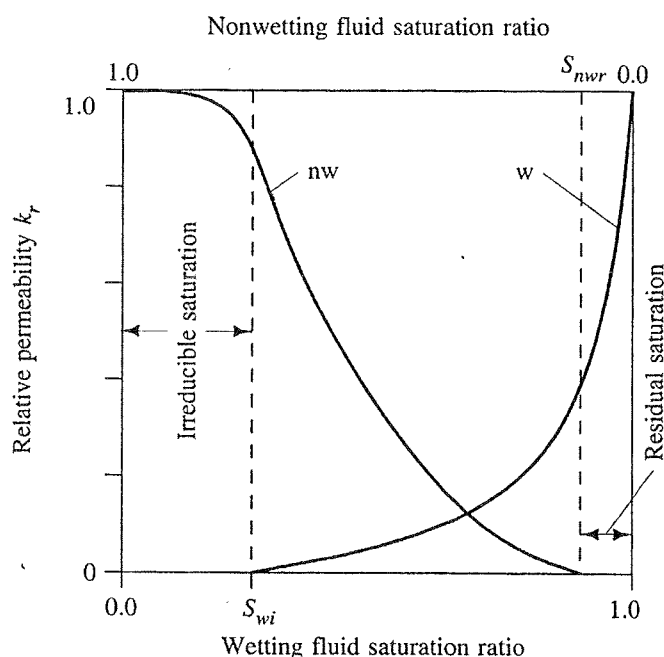
3.2 ความสามารถในการซึมผ่าน

มวลดินเป็นวัสดุที่มีช่องว่างต่อเนื่องในระหว่างเม็ดดิน เมื่อมีน้ำที่มีความดันต่ำกว่า 2 จูดในมวลดิน จุดในมวลดินก็จะมีการไหลของน้ำผ่านช่องว่างเหล่านี้ ความสามารถที่มวลดินให้น้ำซึมผ่านไปได้นี้ เรียกว่า “ความสามารถในการซึมผ่านได้” (Permeability) ความสามารถในการไหลซึมผ่านของของเหลวในชั้นดินในเวลาเดียวกันถ้ามีของเหลว 2 ชนิดที่ไม่สามารถผสมกันได้ซึมเข้าไปในชั้นดินจะทำให้ของเหลวไหลเข้าไปในช่องว่างนั้นจนเต็ม ส่วนที่เกินก็จะไหลซึมลงไปสู่ดินที่มีชั้นลึกต่อไป จากรูป 3-3 แสดงถึงการไหลของน้ำและอากาศ กับน้ำมันกับอากาศ ที่ไหลลงสู่ชั้นดินจากสภาพที่ดินไม่อิ่มน้ำเป็นสภาวะดินนั้นอิ่มตัว



รูปที่ 3-3 การไหลซึมผ่านของไอลของน้ำและอากาศ กับน้ำมันกับอากาศจนทำให้ดินอิ่มตัว

เนื่องจากของเหลวทั้งสองชนิดจะทำการไหลเข้าไปในช่องว่างต่างๆ ที่อยู่ในชั้นดิน โดยของเหลวทั้งสองจะเข้าไปในช่องว่างอย่างรวดเร็ว ซึ่งว่างนี้จะแบ่งเป็นสองส่วน คือ ส่วนที่มีความสามารถในการไหลซึมผ่านมากกว่าจะเรียกว่า total pore space กับส่วนที่มีความสามารถในการไหลซึมผ่านน้อยหรือแทบจะไม่มีการซึมผ่านเลยจะเรียกว่า cross-sectional โดยที่ค่าของ Relative Permeability จะมีความสัมพันธ์กับค่า Intrinsic Permeability สามารถนำมาเขียน เปสของ wetting และเพสของ nonwetting ซึ่งจากรูป 3-4 เป็นกราฟแสดงความสัมพันธ์ระหว่าง Relative-Intrinsic curve ที่เกิดจากการไหลของของเหลวที่สกัด wetting และ nonwetting



รูปที่ 3-4 กราฟ Relative Permeability curve ของ 2 เพส

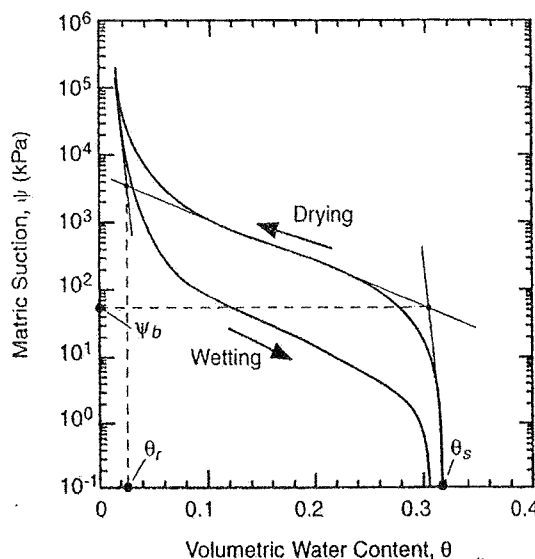
จากรูป 3-4 เส้นกราฟ w แสดงถึงการทำให้ของเหลวไหลลงไปในชั้นดินที่แห้งไม่มีน้ำเป็นส่วนผสม ในส่วน Irreducible saturation จะมีความสามารถในการไหลซึมผ่านของของเหลวจะเป็น 0 เมื่อจากของเหลวจะเข้าไปแทนที่ช่องว่างในชั้นดิน แต่เมื่อช่องว่างเหล่านั้นเต็มไปด้วยของเหลวแล้วจะทำให้ของเหลวส่วนอื่นสามารถไหลผ่านໄไปได้ จึงความสามารถในการไหลซึมผ่านของของเหลวสูงขึ้นเรื่อยๆ จนมีค่าเป็น 1 หรือ 100% ทำให้ดินอยู่ในสภาวะที่อิ่มตัวด้วยของเหลวนั้น จุดที่ของเหลวเริ่มมีการไหลผ่านเรียกว่า Irreducible wetting fluid saturation, s_{wi} และเส้นกราฟ nw เป็นการนำคินที่อิ่มตัวด้วยน้ำมาปล่อยให้น้ำไหลออกจนความสามารถในการไหลซึมผ่านของของเหลวเป็น 0 แต่ค่า wetting fluid saturation ratio จะไม่ถึง 1 หรือ 100% เนื่องจากยังมีน้ำเกาะจับเม็ดดินอยู่ เพราะแรง Capillary Pressure ที่ดินกระทำกับของเหลวอยู่น้ำจึงไหลออกไม่หมด จุดที่การไหลสิ้นสุดเรียกว่า Residual saturation, s_{nwr}

3.3 สมการที่เกี่ยวข้อง

3.3.1 Soil Water Characteristic Curve

รูปที่ 3-5 เป็นกราฟแสดงความสัมพันธ์ระหว่าง Capillary pressure และปริมาณความชื้นในดิน (Water content) สามารถหาได้จากตัวแปรที่ได้จากการทดลอง โดยแบบจำลองทางคณิตศาสตร์ Soil Water Characteristic Curve ประกอบด้วยตำแหน่งที่เกี่ยวข้องกับ Water content หรือ Suction ที่สภาวะความถ่วงจำเพาะและตำแหน่งที่ได้จากการทดลองหลายครั้งโดยทำการกำหนดเป็นค่าคงที่ นั่นคือเลือกการจับกลุ่มของสมการของเส้นโค้งโดยทั่วไปที่ทำการกำหนดจุด โดยที่ Saturated water content (θ_s) จะบรรยายถึงส่วนประกอบทั้งหมดที่ของว่างไพร่องอากาศในดินถูกแทนที่ด้วยน้ำ ส่วนใหญ่จะเหมือนกับการดูดซึมที่แสดงในเส้นโค้งของกราฟ ส่วน Air entry หรือ Bubbling (ψ_b) ความดันส่วนนี้จะบรรยายถึงแรงดูดที่ทำให้น้ำเริ่มเกิดการไหล โดยที่ปริมาณของ Air entry และปริมาณการตกค้าง (Residual water content, θ_r) จะสอดคล้องกันในการสร้างเส้นที่ผ่านระหว่างจุดต่อจุด สมการที่ได้จากการมีดังนี้

$$\Theta = \frac{\theta - \theta_r}{\theta_s - \theta_r} \quad (3-1)$$



รูปที่ 3-5 ความสัมพันธ์ระหว่าง Capillary pressure และปริมาณความชื้นในดิน

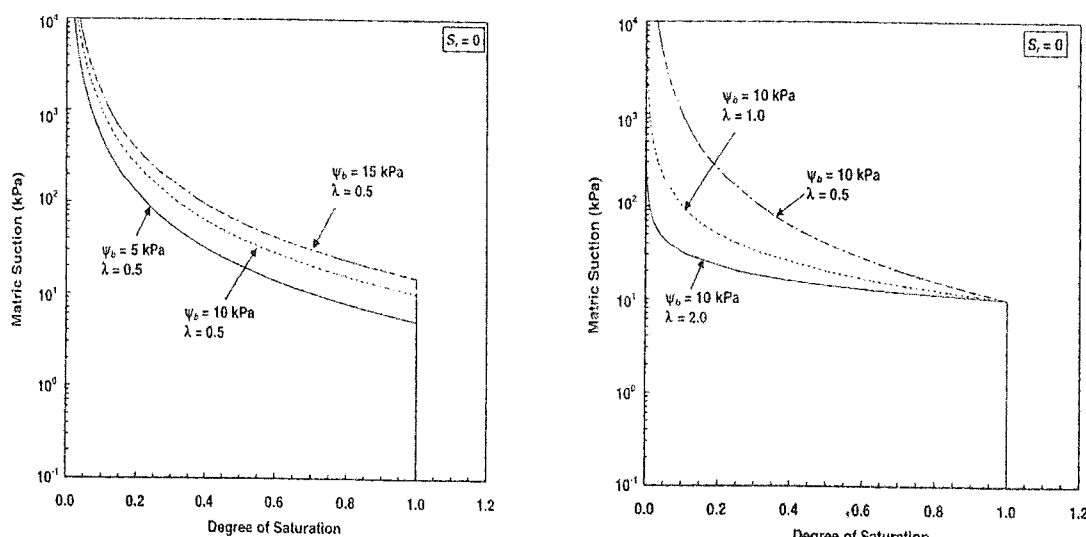
จุดประสงค์ของโนําเดลเพื่ออธิบายถึงตัวแปรทั้งหมดซึ่งสามารถนิยามโดยแบบจำลอง Normalizing water content (Θ) หรือค่าความอิ่มตัว (Degree of saturation) ที่ดินอิ่มตัวเพื่อทำการประเมินถึงเบอร์เต้นต์ คงเหลือของของเหลวจึงสามารถกล่าวได้ว่าปริมาณคงเหลือของ Water content นั้นมีนัยสำคัญต่อปริมาณคงเหลือใน Degree of saturation (S_e)

$$S_e = \frac{S - S_r}{1 - S_r} \quad (3-2)$$

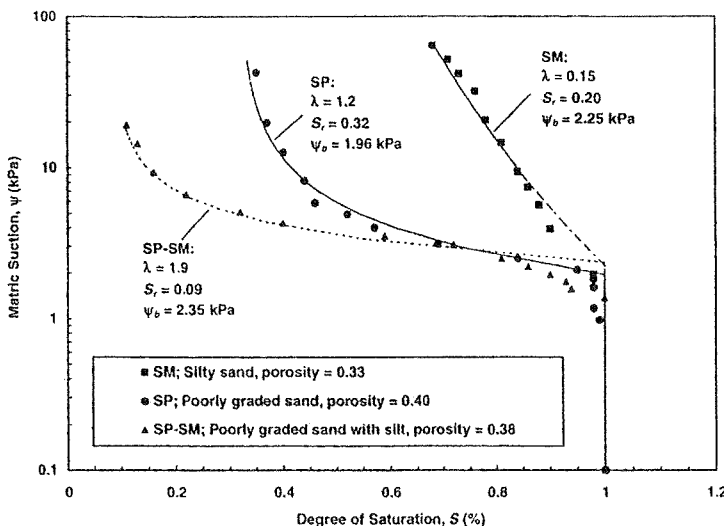
โดยที่ $\Theta = S_e$

3.3.2 สมการของ Brook and Corey (BC)

จากรูปที่ 3-6 แสดงถึงแบบจำลอง SWCC ที่มีผลต่อการเปลี่ยนแปลงของ λ และ ψ_b ในแบบจำลองในรูปที่ 3-6(a) จะแสดงถึงผลกระทบของการเปลี่ยน ψ_b ให้ λ เป็นค่าคงที่ ส่วนรูปที่ 3-6(b) แสดงผลกระทบของการเปลี่ยน λ ให้ ψ_b เป็นค่าคงที่ ในแต่ละที่ค่าการอิ่มน้ำส่วนที่เหลือ S_r สมมุติให้เท่ากับ 0 เช่นเดียวกับ $\Theta = S_r$ จากรูป 3-6(b) เมื่อยเทียบค่าที่ได้ของ λ เป็นค่าที่มากกว่าครึ่งหนึ่งของซึ่งก็ว่าง โดยให้ซึ่งก็ว่างเป็นแกน y และ SWCC เป็นแกน x รูปที่ 3-7 แสดงถึง Suction water content ที่ทำการทดลองโดยชุดอุปกรณ์ Tempe cell และความสอดคล้องแบบจำลอง BC สำหรับดิน 3 ชนิด แบบจำลอง BC ทั้งหมดนี้เป็นการเปรียบเทียบค่าเพื่อหาค่าที่เหมาะสมที่สุด ดินที่มีคุณภาพต่ำสุด (coarse grained) เมื่อเปรียบเทียบแล้วจะได้ค่าที่ต่ำสุด และของเขตการคุณค่าต่ำไปด้วย แบบจำลองที่เกิดความคลาดเคลื่อนอาจมาจากการคุณค่าที่เข้าใกล้ water content ในส่วนที่เหลือสูง การไม่平坦化ให้เห็นของชุดเปลี่ยนระดับในการทดลองของแบบจำลองในบ่อยก็จะส่งผลให้ค่า SWCC คลาดเคลื่อนไปด้วย การที่ผิวของเม็ดดินไม่เรียบทำให้ปริมาณของความดันอากาศยังคงอยู่ในช่วงว่างของดินและสิ่งเหล่านี้ส่งผลให้ค่าที่ได้ไม่มีความแน่นอนเมื่อแบบจำลองอยู่ในรูปอิ่มน้ำด้วยน้ำ

(a) การเปลี่ยน ψ_b โดยให้ λ เป็นค่าคงที่(b) การเปลี่ยน λ โดยให้ ψ_b เป็นค่าคงที่

รูปที่ 3-6 ตัวอย่างสมการของ Brook and Corey (BC) (1964)



รูปที่ 3-7 Suction water content ที่ทำการทดลองโดยชุดอุปกรณ์ Tempe cell

สมการของแบบจำลอง BC เป็นดังนี้

$$S_e = \begin{cases} \left(\frac{\psi}{\psi_b} \right)^{-\lambda} & (\psi > \psi_b) \\ 1 & (\psi \leq \psi_b) \end{cases} \quad (3-3)$$

โดยที่ S_e = The Effective Degree of Saturation

h = ค่า Matrix Suction Head (ที่ระดับความสูงต่างๆ)

h_b = ค่า Air Entry Head

λ = ปริมาณค่าเฉลี่ยของฟองอากาศ

3.3.3 สมการ Van Genuchten (VG)

van Genuchten ได้เสนอถึงพิวของเม็ดดินในระบบปิด โดยแบบจำลองตัวแปรทั้ง 3 สำหรับ SWCC จากสมการเมื่อ a, n, m เป็นตัวแปรจากการคำนวณของแบบจำลอง VG สิ่งที่แสดงให้เห็นสำหรับจุดโถงสามารถยึดหยุ่น โถงของกราฟได้มากกว่าแบบจำลอง BG แบบจำลองการดูดมีความกว้างและตื้ออย่างลักษณะรูปร่างของโถงดีกว่า ความเรียบของผิวที่ทำให้ความอัดอากาศเข้ามาและการดูดเข้าไกล์ส่วนที่เหลืออยู่เป็นผลกระบวนการที่สามารถจับต้องได้ (มองเห็นได้) จากสมการส่วนที่แสดงออกมานิหน่วยของความดันหรือ head ในก้อนหินนี้ตัวแปร a เป็นตัวกำหนดให้ α มีความผูกพันกับความดัน ในการนี้ต่อมาตัวแปร a กำหนดให้เป็น β ซึ่งมีความผูกพันกับความดัน ที่มาของ β และ α คือส่วนที่ให้พลังงานอากาศออกมานั่น α จะใกล้เคียงกับความผูกพันของอากาศที่ออกมานะและ β จะมีความผูกพันกับความดันของอากาศที่

ออกมาหรือจากความสูงของเส้นค่าปีลารี แบบจำลอง VG เป็นดังสมการ (3-4) และแสดงตัวอย่างในรูปที่ 3-8

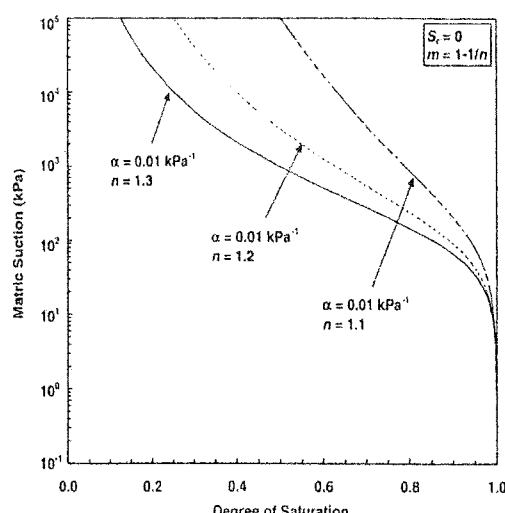
$$\Theta = S_e = \begin{cases} \frac{1}{1 + (\alpha \psi)^n} & (m = 1 - 1/n) \\ & (m = 1 - 1/2n) \end{cases} \quad (3-4)$$

โดยที่ α = ตัวแปรที่มีความสัมพันธ์กับสภาวะของความชื้นจำเพาะ

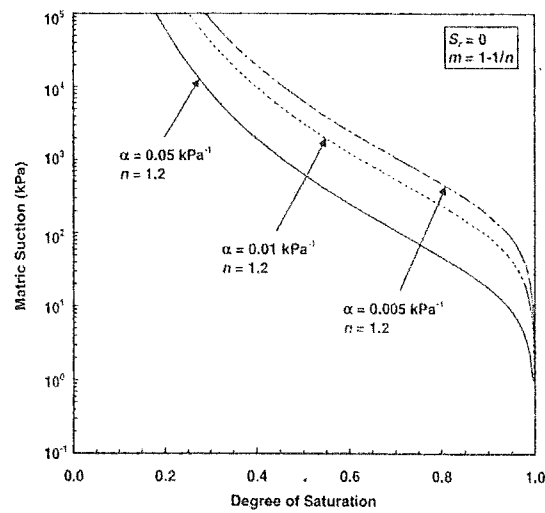
n = ตัวแปรที่เป็นความสัมพันธ์ของปริมาณค่าเฉลี่ยของฟองอากาศของดิน

m = ตัวแปรที่เป็นความสัมพันธ์ของลักษณะของเส้นโค้งในกราฟ

(โดยที่ m อาจมีความสัมพันธ์กับตัวแปร n)



(a) แสดงการเปลี่ยนค่าของตัวแปร n



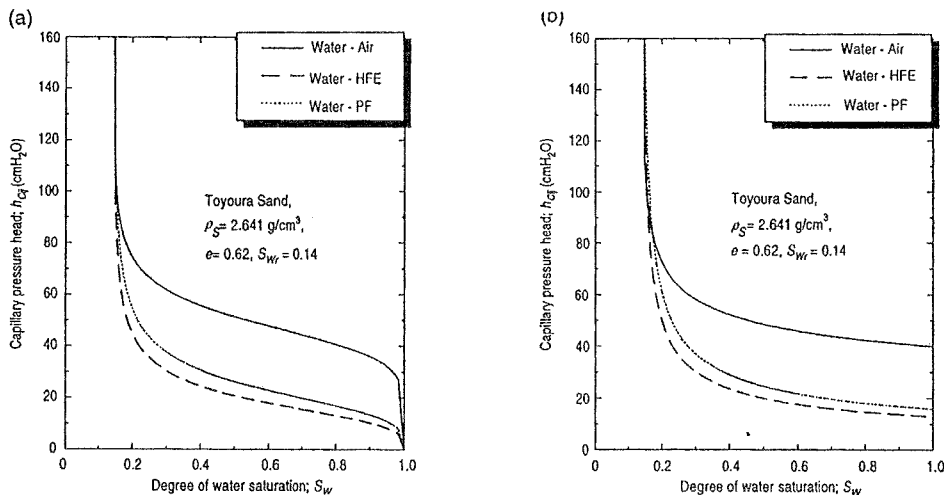
(b) แสดงการเปลี่ยนค่าของตัวแปร α

รูปที่ 3-8 ตัวอย่างสมการของ Van Genuchten (VG) (1980)

3.3.4 ลักษณะความสัมพันธ์แบบจำลองของ Brooks and Corey และ Van Genuchten

สมการของ Brooks and Corey และ van Genuchten จะมีความแตกต่างกันอยู่ คือ สมการของ van Genuchten ที่เส้นการแห้ง (Drying curve) จะเริ่มจากแรงดันค่าปีลารีที่ 0 จากนั้นจะเพิ่มขึ้นมาเรื่อยๆ ส่วนสมการของ Brooks and Corey เส้นการแห้งจะเริ่มจากแรงดันค่าปีลารีที่จุด P_d จากนั้นจึงค่อยๆ เพิ่มขึ้นตามลำดับ

จากรูปที่ 3-9 saturated water content (θ_s) ได้แสดงถึงตำแหน่งทั้งหมดของช่องว่างระหว่างเม็ดดินในดินที่จะถูกน้ำเข้ามาแทนที่ the air-entry or bubbling pressure (ψ_b) หรือบายถึง suction บนการดูดซึมที่ลดลงที่สามารถเริ่มเข้าในเม็ดดินที่มีช่องว่างขนาดใหญ่และความอิ่มตัวเริ่มลดลง



รูปที่ 3-9 แสดงความแตกต่างของสมการ van Genuchten และ Brooks and Corey โดยรูป (a) เป็นจากสมการของ van Genuchten รูป (b) เป็นจากสมการของ Brooks and Corey (Fetter, 1999)

3.4 สมการความซึมผ่าน

การหาสัมประสิทธิ์การซึมผ่านได้จากการทดลองสามารถหาได้จากกฎของ Darcy's Law ดังนี้

$$k_s = VL / Ath \quad (3-5)$$

โดยที่ V คือ อัตราการไหล

A คือ พื้นที่หน้าตัดของทางน้ำไหล

L คือ ความสูงของตัวอย่าง

h คือ ระดับความดัน

t คือ เวลาในการไหล

3.4.1 สมการสัมประสิทธิ์การซึมผ่านได้ของ Brook and Corey

การหาสัมประสิทธิ์การซึมผ่านได้ของ Brook and Corey จะนำผลการทดลองที่ได้จากสมการการไหลผ่านของ Brook and Corey (1964) ซึ่งแสดงความสัมพันธ์ได้ดังสมการ (3-6) และสามารถแสดงความสัมพันธ์ระหว่างสัมประสิทธิ์การซึมผ่านได้ (k) กับค่าสัมประสิทธิ์การอิ่มตัว (Θ) ดังสมการ (3-7)

$$k(\psi) = \begin{cases} k_s & \psi \leq \psi_b \\ k_s \left(\frac{\psi_b}{\psi} \right)^{\eta} & \psi > \psi_b \end{cases} \quad \text{เมื่อ } \eta = 2 + 3\lambda \quad (3-6)$$

- โดยที่ k_s คือ สัมประสิทธิ์การซึมผ่านได้ในขณะอิ่มตัว
 ψ คือ ค่าการดูด (ค่าความดัน)
 ψ_b คือ ความดันที่ทำให้อากาศเริ่มไหลดผ่าน
 $k_r = \Theta^{(2+3\lambda)/\lambda} = S_e^{(2+3\lambda)/\lambda}$ (3-7)
- โดยที่ k_r คือ ความสัมพันธ์ของสัมประสิทธิ์การซึมผ่านได้

3.4.2 สมการสัมประสิทธิ์การซึมผ่านของ Burdine และ Mualem

ในการหาสัมประสิทธิ์การซึมผ่านของ Burdine (1953) และ Mualem (1978) จะนำผลการทดลองที่ได้มาจากการใช้สมการของ van Genuchten (1980) ซึ่งแสดงความสัมพันธ์ระหว่างสัมประสิทธิ์การซึมผ่านได้ (k) กับค่าการดูด (ψ) ดังสมการที่ (3-8) และแสดงความสัมพันธ์ระหว่างสัมประสิทธิ์การซึมผ่านได้ (k) กับค่าปริมาณของเหลวในดิน (θ) ดังสมการ (3-9)

$$k_r(\psi) = \frac{\left[1 - (\alpha\psi)^{n-1} \left[1 + (\alpha\psi)^n \right]^{-m} \right]^2}{\left[1 + (\alpha\psi)^n \right]^{m/2}} \quad (3-8)$$

- โดยที่ n คือ การแสดงความสัมพันธ์ขนาดคละของดิน
 m คือ ค่าที่ได้จากการแสดงความสัมพันธ์ของค่า n

$$k_r = \Theta^{0.5} \left[1 - (1 - \Theta^{1/m})^m \right]^2 \quad (3-9)$$

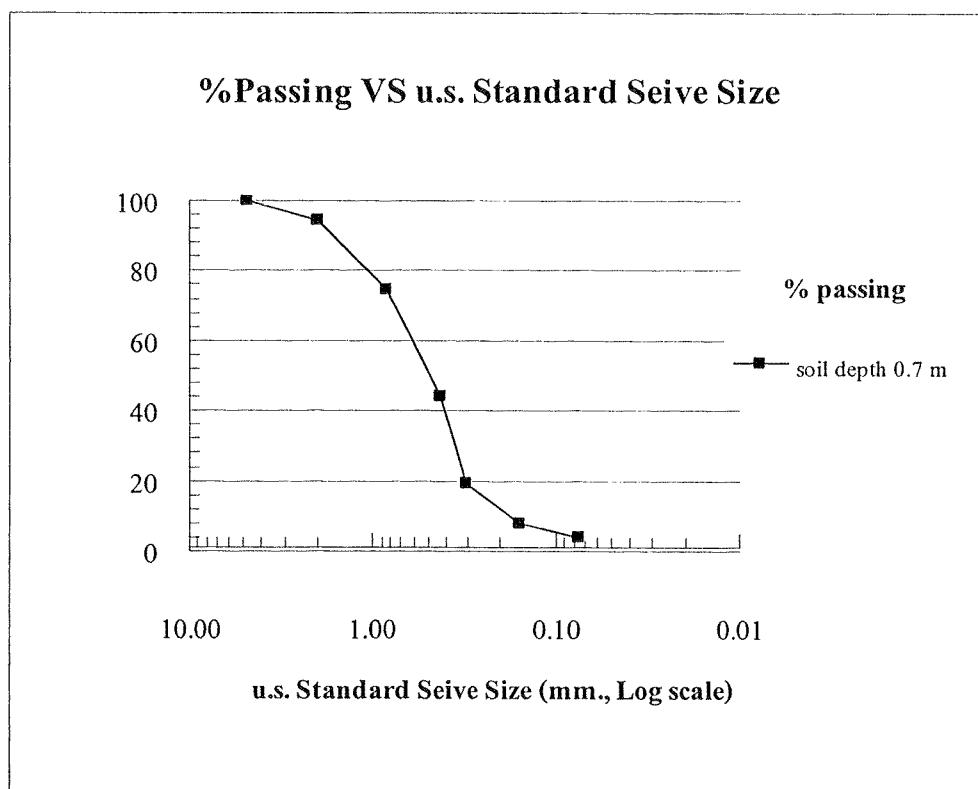
3.5 วัสดุที่ใช้ในการทดลอง

3.5.1 ทราย

ตัวอย่างดินทรายที่ใช้ในการทดลองทำการเก็บตัวอย่างจากบริเวณคณะวิศวกรรมศาสตร์มหาวิทยาลัยบูรพา จังหวัดชลบุรี ที่ระดับความลึก 0.7 เมตร โดยมีระดับความลึกของน้ำใต้ดินที่ 0.8 เมตร ตัวอย่างทรายที่ได้เป็นตัวอย่างแบบถูกยุบกวน (Disturbed sample) คุณสมบัติพื้นฐานทางวิศวกรรมของดินทรายที่ใช้ในการทดลองสามารถทำการทดสอบตามมาตรฐานในตารางที่ 3-1 การกระจายขนาดของเม็ดดินทดสอบโดยวิธี Sieve Analysis ได้ผลคังແแสดงในรูปที่ 3-10 มีค่าสัมประสิทธิ์ความสม่ำเสมอ (Coefficient of Uniformity, C_u) 1.77 และค่าสัมประสิทธิ์ความโค้ง (Coefficient of Curvature, C_c) 1.10 จัดเป็นดินทรายที่มีขนาดคละไม่ดี (Poorly-Graded Soil) เมื่อจำแนกดินตามระบบ Unified Soil Classification จัดเป็นดินประเภท SP (Sand Poorly Graded)

ตารางที่ 3-1 คุณสมบัติของดินทรายตัวอย่าง

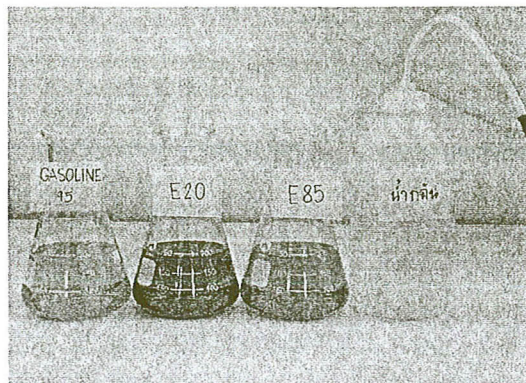
คุณสมบัติ	ระดับความลึกของดินที่ 0.7 เมตร
ความหนาแน่นในสนาม (กรัม/ซม. ³)	1.48
ปริมาณความชื้นในดิน (%)	16.39
ความถ่วงจำเพาะ	2.65
Soil Classification (USCS)	SP
สัมประสิทธิ์ของการซึม (ซม./วินาที)	0.03686



รูปที่ 3-10 การกรราชายตัวของอนุภาคของดิน

3.5.2 ของเหลว

ของเหลวที่ใช้ในการศึกษาการไหลซึมผ่านประกอบไปด้วย น้ำกัลล์ น้ำมันเบนซินออกเทน 95 น้ำมันแก๊สโซล์ E20 และ น้ำมันแก๊สโซล์ E85 ซึ่งเป็นน้ำมันที่มีจำหน่ายที่สถานีบริการน้ำมันบริษัท ปตท. โดยมีคุณสมบัติต่างๆ ดังตารางที่ 3-2 รูปที่ 3-11 และรูปของเหลวที่ใช้ในการทดลอง



รูปที่ 3-11 ของเหลวที่ใช้ในการทดลอง

ตารางที่ 3-2 คุณสมบัติของของเหลวที่อุณหภูมิ 30°C ที่ใช้ในการทดลอง

ของเหลว	สี	ความหนืด (Pa.s)	แรงตึงผิว (dynes/cm)	ความหนาแน่น (kg/m ³)
น้ำ	ใส	0.000798	71.20	995.68
แก๊สโซเชล E20	เขียวใส	0.000422	19.90	744.10
แก๊สโซเชล E85	แดงอ่อนๆ	0.000848	21.40	770.50
เบนซิน 95	เหลือง	0.000342	19.36	725.00

3.6 อุปกรณ์ที่ใช้ในการทดลองและแผนการทดลอง

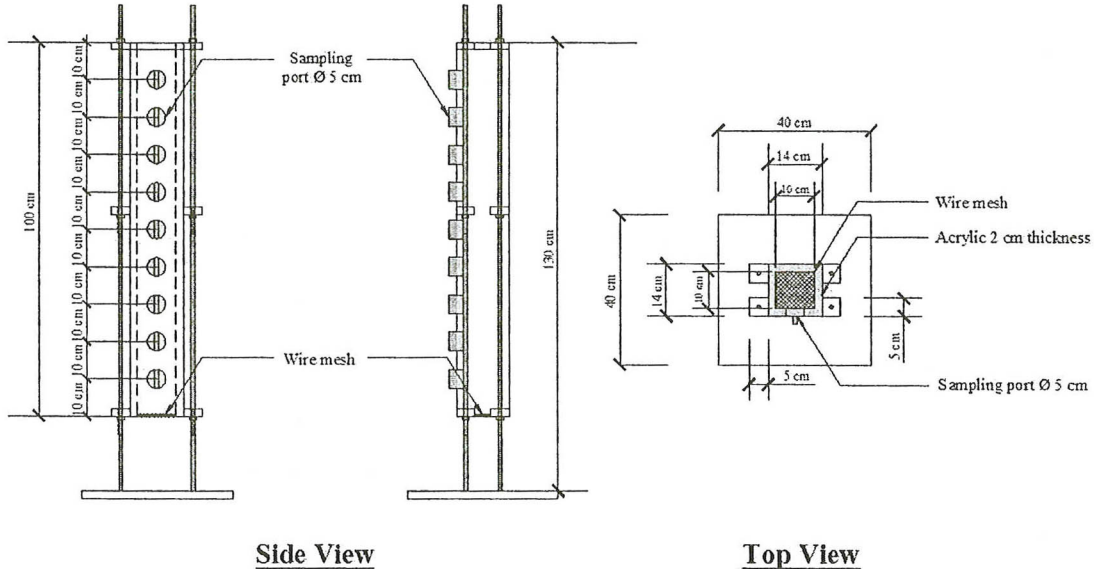
3.6.1 การทดสอบการไหลซึมในหนังมิติ

การทดสอบทำโดยเครื่องทดสอบการไหลซึมในหนังมิติ (1-D infiltration column test) ดังแสดงภาพร่างในรูปที่ 3-12 และแสดงรูปถ่ายในรูปที่ 3-13 โดยระบบอกรางสูงนี้ทำจาก acrylic และมีขนาด

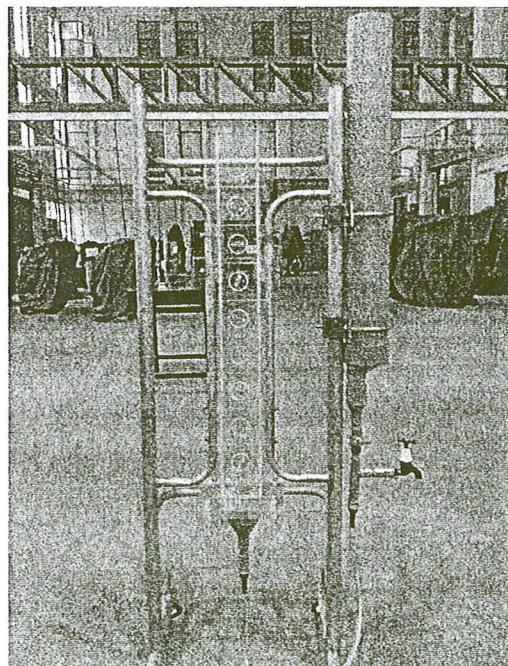
$10 \times 10 \times 100$ ซม. พนังของ column ใสเพื่อจะได้สังเกตการไหลซึมของของเหลวด้วยตารางห่วงการทดสอบระบบอกรางสูงจะมี sampling port 9 อัน เพื่อที่จะสามารถเก็บตัวอย่างดินออกมาทดสอบได้ port ที่ 1 (บนสุด) อยู่ที่ 10 ซม. จากส่วนบนสุดของระบบอกรางสูงและ 8 อันต่อๆมาจะวางตัวที่ระยะ 10 ซม. ต่อกัน ส่วนบนของระบบอกรางสูงมีฝ้าปิดเพื่อป้องกันการระเหยของของเหลวในขณะที่ส่วนก้นของระบบอกรางสูงจะมีตะแกรงเพื่อป้องกันไม่ให้รายถูกชะล้างออกมา

การทดสอบกระทำกับรายแห้ง โดยเริ่มต้นโดยทำรายให้อิ่มตัวด้วยของเหลวโดยให้ของเหลวซึมขึ้นจากด้านล่างอย่างช้าๆ จนซึมน้ำถึงที่ผิวน้ำสุดของรายและทิ้งไว้ 30 นาที จากนั้นให้ของเหลวไหลออกระบบอกรางสูงโดยปล่อยไวน์กระทั้งไม่มีของเหลวไหลออกมากกับระบบอกรางสูงจึงทำการเก็บ

ตัวอย่างคินทรารายจากจุดเก็บตัวอย่างเพื่อทราบรูปแบบของเหลวในดิน ตัวอย่างที่ได้ในแต่ละการทดลองมี
ทั้งสิ้น 9 ตัวอย่าง หมายเหตุว่า การทดลองแบบนี้จะได้ drying curve



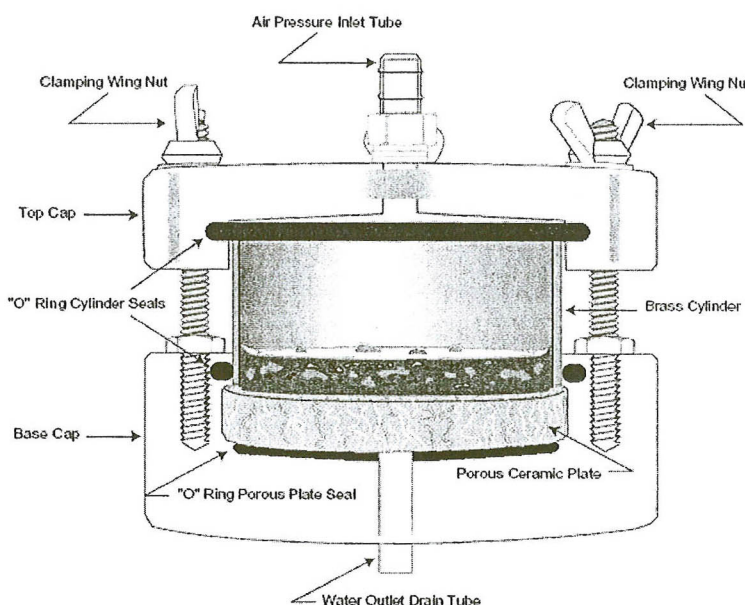
รูปที่ 3-12 ภาพร่างของเครื่องมือ 1-D infiltration column test



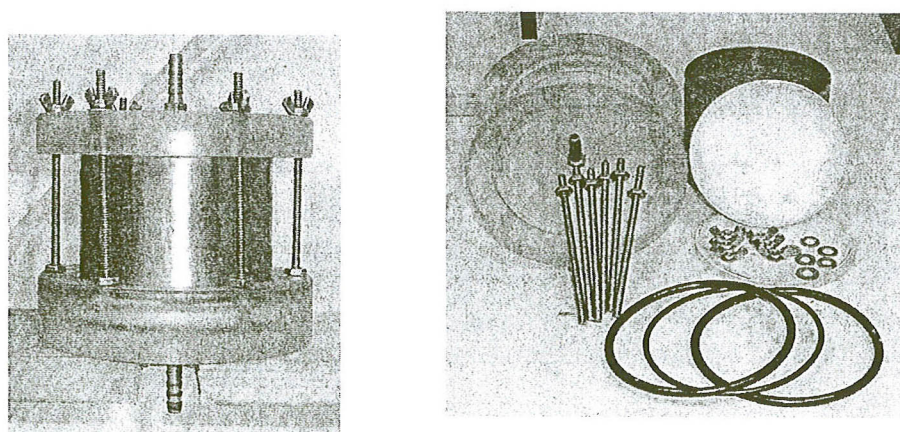
รูปที่ 3-13 รูปถ่ายของ 1-D infiltration column test

3.6.2 Tempe Cell

การทดสอบหา soil-water characteristic curves และ soil-LNAPL characteristic curve ของรายชลบุรีจะทำโดยใช้ Tempe Cell ดังแสดงในรูปที่ 3-14 ส่วนบนและล่างวัสดุประกอบไปด้วยพลาสติกใสแข็งที่ทนความดันได้สูง มีเส้นผ่านศูนย์กลางประมาณ 7-8 เซนติเมตร มีช่องสำหรับอากาศเข้าและออกจากระบบ ส่วนกลางของวัสดุประกอบไปด้วย ยาง (O-ring), แผ่นเซรามิก, ชิ้นส่วนสำหรับยึดอุปกรณ์ (Clamp screws) และระบบอุกสแตนเลตหรือพลาสติกใสที่ทนความดันได้สูง มีเส้นผ่านศูนย์กลางประมาณ 5.7 เซนติเมตร สูง 5.7 เซนติเมตร ส่วนประกอบ เครื่องอัดความดันสามารถใช้ความดันที่ 0-1 บาร์ ในรูปที่ 3-15



รูปที่ 3-14 Tempe cell (Soilmoisture Equipment Corp., 2003)



รูปที่ 3-15 อุปกรณ์ทดลองการไอลซึมผ่านแบบเครื่องอัดความดัน (Tempe Pressure Cell)

การเตรียมด้วยย่างทำโดยการบรรจุทรายลงในเครื่องอัดความดันและการบดอัดแบบเปียก (Wet compaction) โดยบดอัดให้ทรายมีความหนาแน่น 1.56 กรัมต่อลูกบาศก์เซนติเมตร จากนั้นทำทรายให้อุ่นตัวด้วยน้ำโดยให้น้ำซึมเข้าจากด้านล่างอย่างช้าๆจนซึมมาถึงที่ผิวน้ำสุดของทราย จากนั้นทิ้งไว้ 30 นาที นำน้ำส่วนเกินทิ้งให้น้ำออกในระดับเท่ากับผิวทรายชั้นบนสุด ส่วนการทดสอบกับน้ำมันเบนซินออกเทน 95 และน้ำมันแก๊สโซเชล สามารถทำได้ เช่นเดียวกับโดยเปลี่ยนของเหลวจากน้ำเป็นน้ำมันเบนซินออกเทน 95 และน้ำมันแก๊สโซเชล E20 และน้ำมันแก๊สโซเชล E85 ตามลำดับ โดยในแต่ละของเหลว ความหนาแน่นของทรายมีความหนาแน่น 1.56 กรัมต่อลูกบาศก์เซนติเมตร หลังจากนั้นดำเนินการทดสอบได้โดยให้ความดันด้านบนของเครื่องอัดความดันซึ่งความดันที่ให้น้ำมีความดันที่ 0.033, 0.066, 0.1, 0.15, 0.2, 0.3, 0.4, 0.5, 0.7, 0.9 kPa เมื่อให้ความดันแก่ของเหลวครบ 24 ชั่วโมงต่อหนึ่งความดันแล้วบันทึกค่าเครื่องอัดความดันและน้ำหนักของของเหลวที่ไหลผ่านอุปกรณ์แล้วจึงเปลี่ยนค่าความดันต่อไป เมื่อทำการให้ความดันที่ระดับต่างๆครบแล้วนำตัวอย่างดินที่ผ่านการทดสอบแล้วไปชั่งน้ำหนักก่อนและหลังเข้าเตาอบเพื่อหา Water Content ที่ทำการทดสอบได้โดยใช้ของเหลวที่ต่างกันได้แก่ น้ำ เบนซิน 95 E20 และ E85 ตามลำดับ จากนั้นนำค่าที่ได้จากการทดสอบไปเขียนเส้นทางคุณลักษณะเฉพาะดินกับน้ำ

3.6.3 เครื่องทดสอบความซึมผ่านได้ของดิน

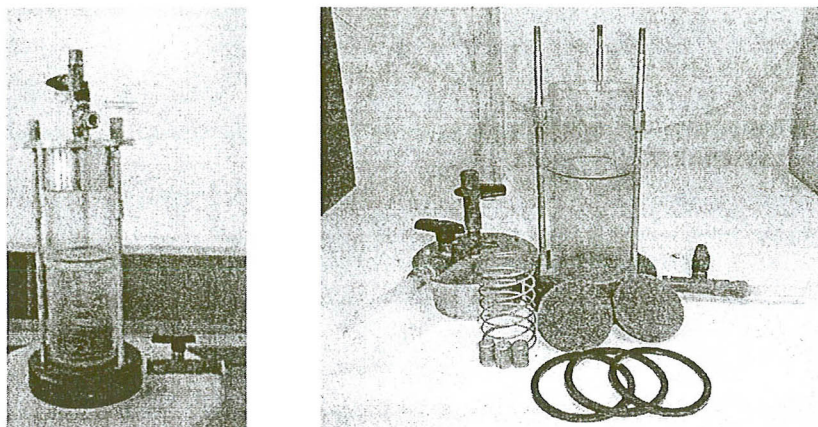
เครื่องทดสอบความซึมผ่านได้ของดินประกอบได้ด้วย 4 ส่วน ดังแสดงในรูปที่ 3-16 ดังนี้

ส่วนที่ 1 ฐานเป็นพลาสติกแข็งสีดำเข้มเส้นผ่านศูนย์กลางประมาณ 6 เซนติเมตร และวัวล์สำหรับให้น้ำเข้าสู่ระบบ

ส่วนที่ 2 มีลักษณะเป็นพลาสติกใสสำหรับบรรจุทรายมีเส้นผ่านศูนย์กลางประมาณ 5 เซนติเมตร

ส่วนที่ 3 มีลักษณะเป็นเหล็กมีเส้นผ่านศูนย์กลางประมาณ 6 เซนติเมตร และวัวล์ 2 ช่องสำหรับให้น้ำออกจากระบบและไถฟองอากาศ

ส่วนที่ 4 ประกอบไปด้วยหินที่มีรูพรุนสูง และสปริง

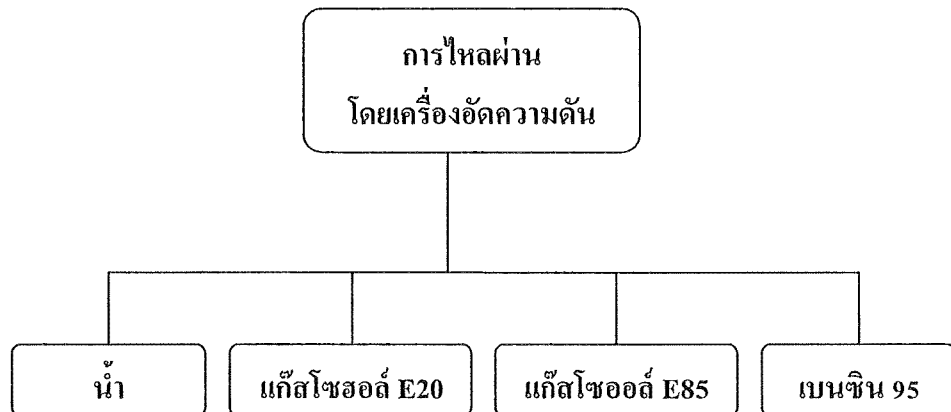


รูปที่ 3-16 ชุดทดสอบสัมประสิทธิ์ความซึมได้ของดิน

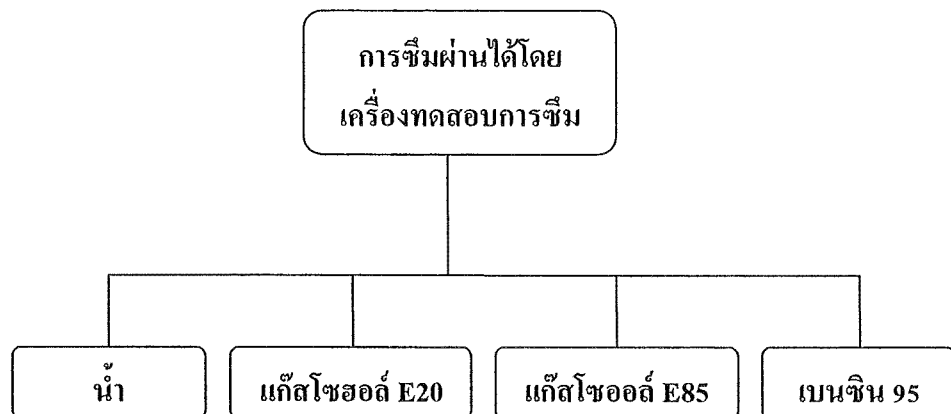
ทำการเตรียมตัวอย่างโดยนำทรายตัวอย่างมาซึ่งเตรียมไว้ประมาณ 1500 กรัม วัดขนาดเส้นผ่าศูนย์กลาง , ความสูงของ Mold เพื่อหาพื้นที่หน้าตัดและปริมาตรของตัวอย่างดิน ประกอบอุปกรณ์ทุกชิ้นเข้ากับ Cell วางวัสดุรอง (ตะแกรงหรือหินพูน) ไว้ด้านล่างของ Cell วางสปริงและหินพูนไว้ด้านบนแล้วนำไปปั๊หาน้ำหนักของCell เป็นๆ นำตัวอย่างดินที่ได้เตรียมไว้บรรจุลงใน Mold ที่ได้ประกอบไว้ใส่ตัวอย่างดินเป็นชั้นๆ ชั้นละประมาณไม่เกิน 1.5 เซนติเมตร แล้วเคาะด้านข้างของ Mold โดยให้มีความหนาแน่นใกล้เคียงกับที่ใช้ในการทดสอบการซึมผ่านมากที่สุด จนกระทั่งผิวน้ำของตัวอย่างดินต่ำกว่าขอบของ Moldประมาณ 2.5 เซนติเมตร ปรับผิวน้ำของตัวอย่างดินให้เรียบและนำเม็ดดินที่ติดอยู่ข้างๆ Mold ออกให้หมด นำหินพูนมาวางทับบนผิวน้ำของตัวอย่างดินและกดให้แน่น นำสปริงและฝาครอบมาใส่และปิดฝาครอบให้แน่น ด้วยสกรู หลังจากนั้นໄล่ฟองอากาศออกและทำให้ตัวอย่างดินอิ่มตัว โดยการติดตั้งกรวยให้มีความสูงของกรวยที่เพียงพอให้น้ำสามารถไหลซึมผ่านตัวอย่างดินได้ด้วยความดันของน้ำเองจากด้านล่างขึ้นสู่ผิวน้ำของตัวอย่างดิน โดยต่อสายยางเข้ากับวาล์วระบายน้ำออก (Outflow) ซึ่งท่อที่อยู่ทางด้านล่างน้ำจะค่อยๆซึมผ่านตัวอย่างดินพร้อมกับเปิดวาล์วໄล่ฟองอากาศออกจากตัวอย่าง จนน้ำร้อนจะระเหยทั้งน้ำให้ลอกจากตัวอย่างดินในช่องท่อทางน้ำเข้า (Inflow) ซึ่งอยู่ทางด้านบนของเครื่องทดสอบความซึมผ่านของดินในอัตราการไหล กองที่ โดยลองวัดปริมาณน้ำคู 4-5 ครั้งในเวลาที่กำหนดขึ้นเอง หากทดลองคูแล้วน้ำที่ไหลออกมีปริมาณเท่ากันตลอดในเวลาที่กำหนดไว้ก็แสดงว่าอัตราการไหลของน้ำคงที่แล้ว โดยที่ระหว่างการปล่อยน้ำเข้าในตัวอย่างดินเพื่อหาอัตราไหลนี้จะต้องคงอยเดินน้ำในกรวยให้พอดีกับช่องระบายน้ำด้านล่างอยู่ตลอดเวลาจนถึงสุดการทดลอง เมื่อมีอัตราการไหลคงที่แล้ว จึงหาอัตราการไหลที่แท้จริง โดยเริ่มจับเวลาพร้อมกับนำหลอดแก้วมารองรับน้ำที่ไหลออกจากการตัวอย่างดิน ซึ่งวิธีการก็เหมือนกับการทดลองหาอัตราการไหลที่คงที่นั้นเอง โดยให้หาอัตราการไหลจริงอย่างน้อย 5 ครั้ง และจึงค่อยนำน้ำที่ได้ทั้งหมดมาหาค่าเฉลี่ยเป็นค่า Q (สถาพร ภูวิตรจาโร, 2542)

3.6.4 แผนการทดลอง

แผนการทดลองการไอลซึมผ่านแบบเครื่องอัดความดันแสดงดังรูปที่ 3-17 และแผนการทดลองการไอลซึมผ่านเครื่องทดสอบความซึมผ่านได้ของคินแสดงดังรูปที่ 3-18



รูปที่ 3-17 แผนการทดลองการไอลซึมผ่านแบบเครื่องอัดความดัน



รูปที่ 3-18 แผนการทดลองการไอลซึมผ่านเครื่องทดสอบสัมประสิทธิ์ความซึมได้ของคิน

3.7 ผลการทดลองและวิเคราะห์ผลการทดลอง

3.7.1 SWCC

การทดลองการไอลผ่านจะได้ค่า Volumetric water content และค่า Degree of saturated (%) ซึ่งเป็นค่าเบื้องต้นที่จะนำไปใช้ในสมการของ Brook and Corey (1964) และ Van Genuchten (1980) จากการทดลองการไอลผ่านจะได้ค่าตัวแปรที่สำคัญในสมการของ BC ดังตารางที่ 3-3 จากการทดลองการไอลผ่านจะได้ค่าตัวแปรที่สำคัญในสมการของ VG ดังตารางที่ 3-4

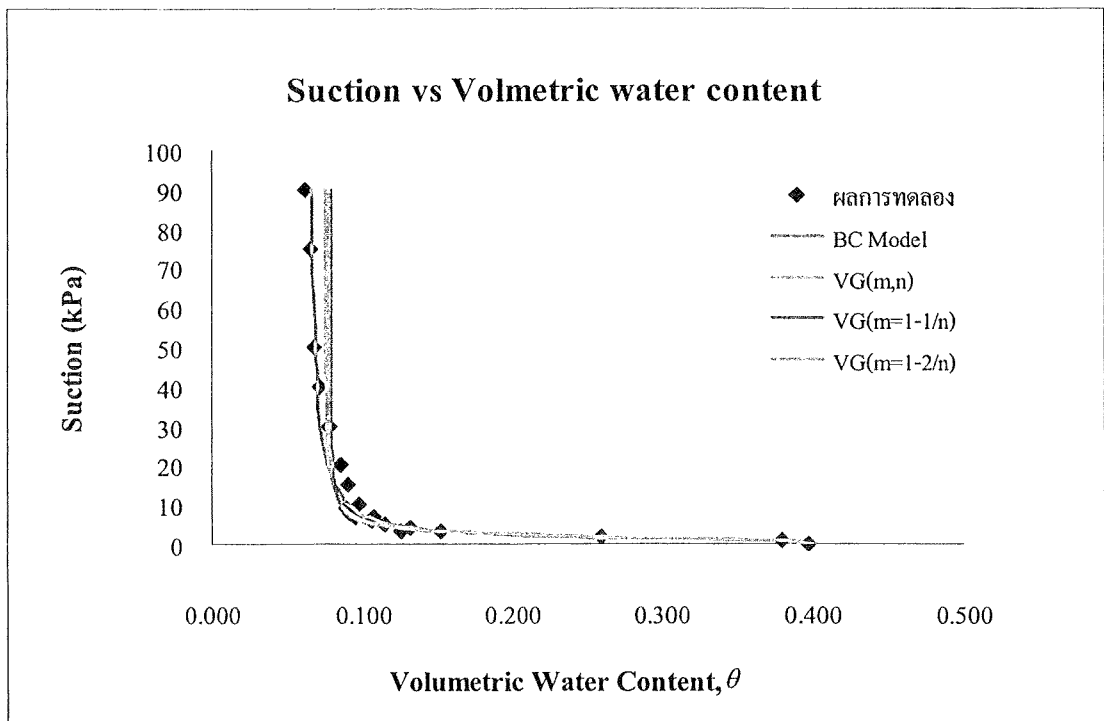
ตารางที่ 3-3 ตัวแปรของสมการ BC ที่ได้จากการทดลอง

Type of liquid	BC		
	θ_r	ψ_b	λ
น้ำ	0.0141	0.024	0.253
แก๊สโซเชล E20	0.0111	0.003	0.231
แก๊สโซเชล E85	0.0105	0.001	0.260
เบนซิน 95	0.0010	0.002	0.220

ตารางที่ 3-4 ตัวแปรของสมการ VG ที่ได้จากการทดลอง

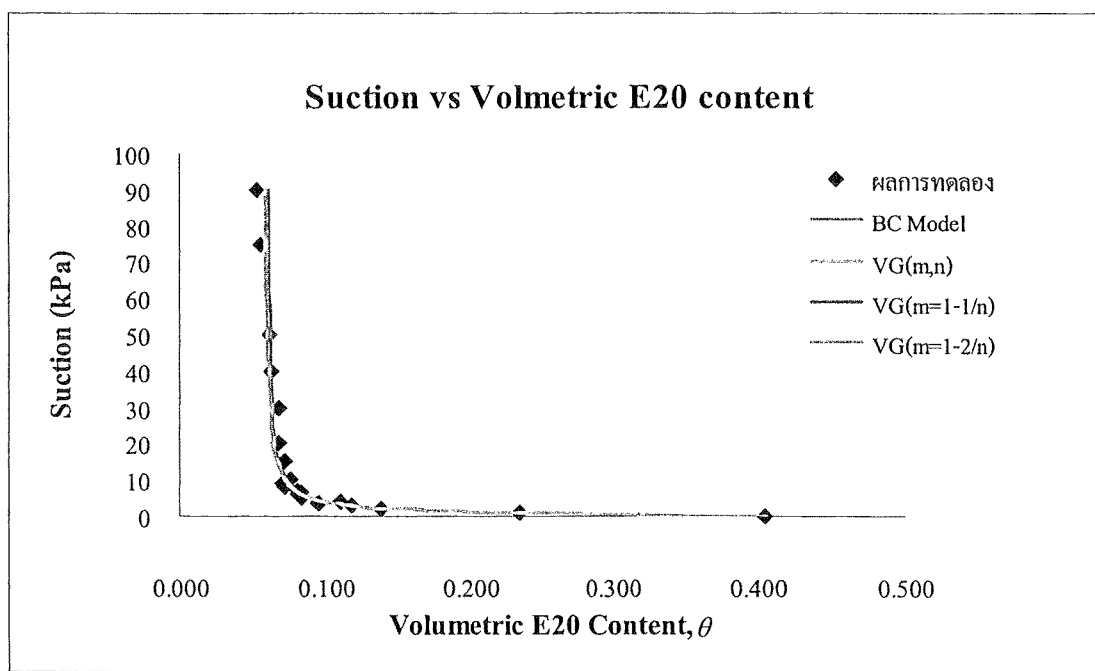
VG;(m,n)			VG;(m=1-1/n)			VG;(m=1-2/n)		
α	n	m	α	n	m	α	n	m
39.24	1.006	0.253	40.44	1.253	0.202	33.15	2.270	0.119
582.21	1.317	1.005	580.78	1.210	0.173	51.97	2.358	0.152
5913.69	1.005	1.777	13024.38	1.167	0.143	223.95	2.323	0.139
695.70	1.005	0.220	693.28	1.221	0.181	90.18	2.335	0.144

เมื่อทราบตัวแปรที่ต้องการใช้ในสมการสามารถนำค่าที่ได้มาแสดงในแบบจำลองของ BC และ VG โดยผลของสมการที่ให้ค่าไกล์เคียงนั้นจะสามารถดูได้จากกราฟที่มีค่าไกล์เคียงกับผลการทดลองมากที่สุด รูปที่ 3-19 เปรียบเทียบของเหลวชนิดน้ำกลั่นต่อสมการทั้งหมดพบว่าสมการของ BC ให้ผลที่ไกล์เคียงกับผลการทดลองมากที่สุด



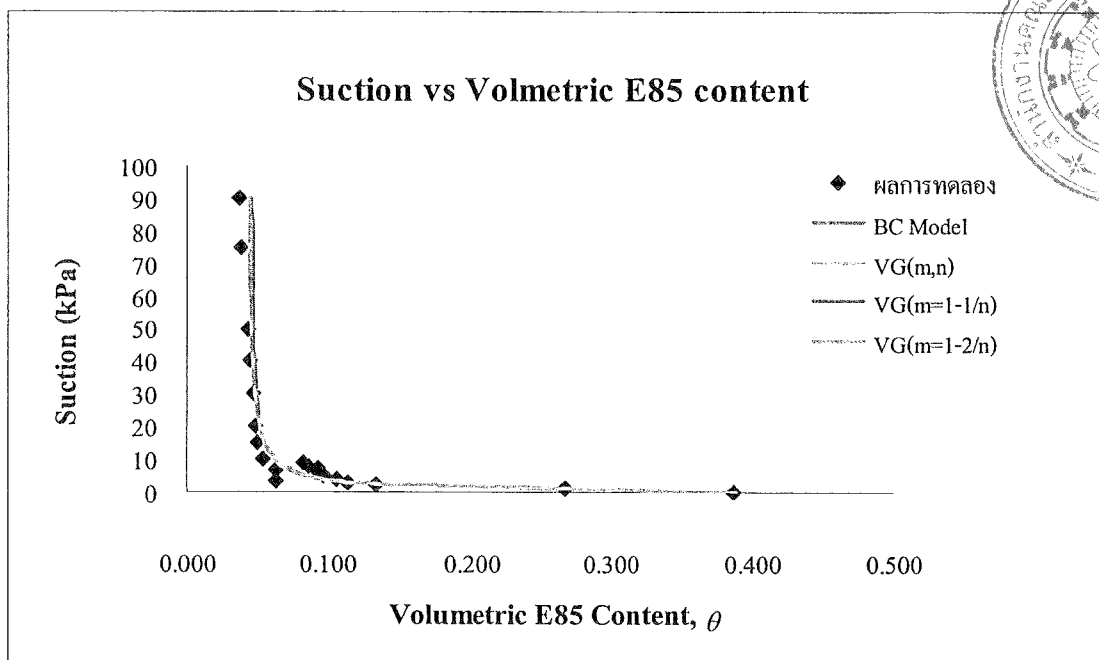
รูปที่ 3-19 กราฟแสดงผลแบบจำลองของน้ำระหว่าง Volumetric water content กับ Suction

เปรียบเทียบของเหลวชนิดน้ำมันแก๊สโซล์ E20 ต่อสมการห้องหมุดพบว่า สมการห้องหมุดให้ค่าที่ใกล้เคียงกับผลการทดลองที่ได้ดังรูปที่ 3-20



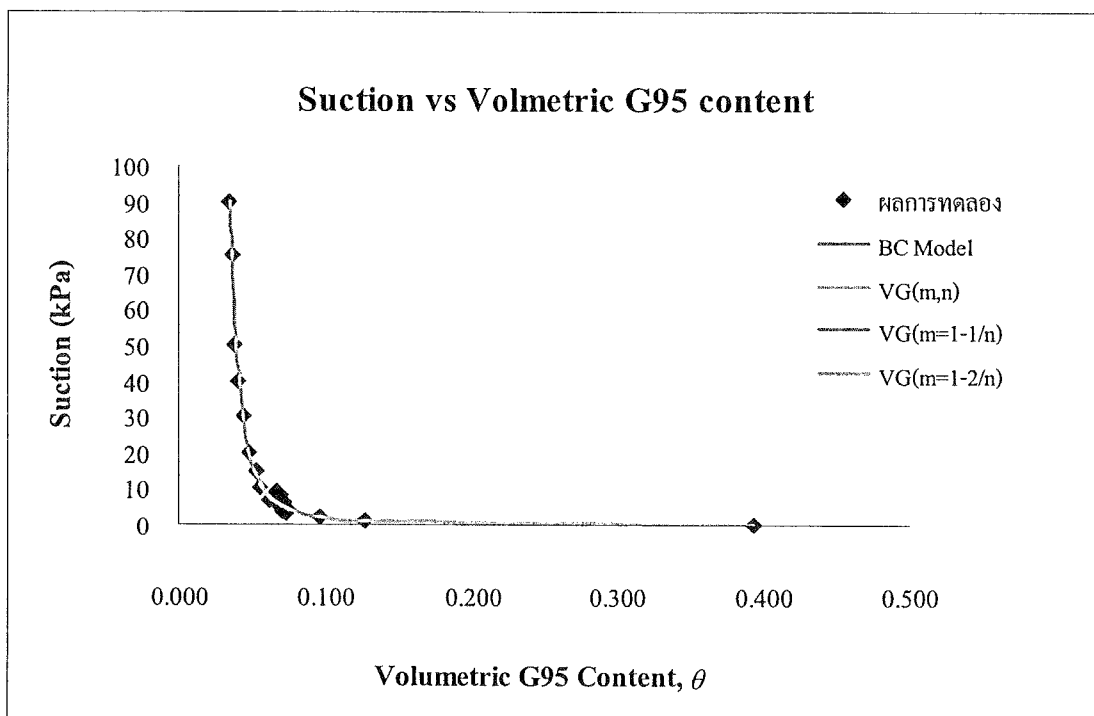
รูปที่ 3-20 กราฟแสดงผลแบบจำลองของ E20 ระหว่าง Volumetric E20 content กับ Suction

เปรียบเทียบของเหลวชนิดน้ำมันแก๊สโซล E85 ต่อสมการทั้งหมดพบว่า สมการทั้งหมดให้ค่าที่ใกล้เคียงกับผลการทดลองที่ได้ดังรูปที่ 3-21



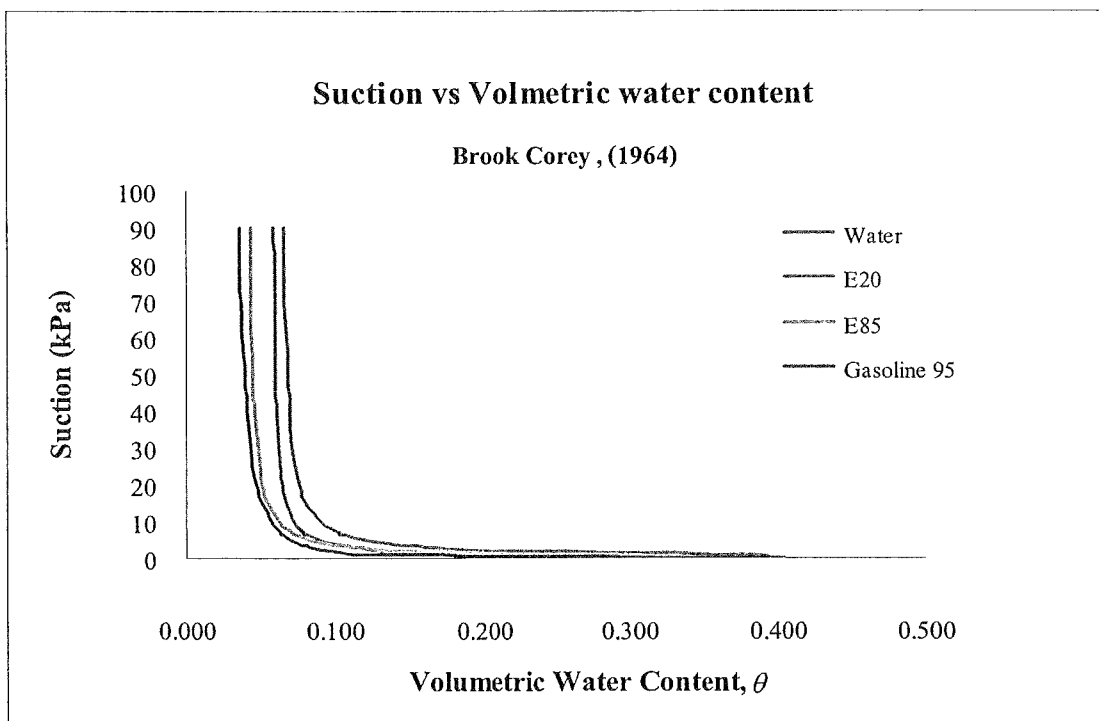
รูปที่ 3-21 กราฟแสดงผลแบบจำลองของ E85 ระหว่าง Volumetric E85 content กับ Suction

เปรียบเทียบของเหลวชนิดน้ำมันเบนซิน 95 ต่อสมการทั้งหมดพบว่า สมการทั้งหมดให้ค่าที่ใกล้เคียงมากกับผลการทดลองที่ได้ดังรูปที่ 3-22



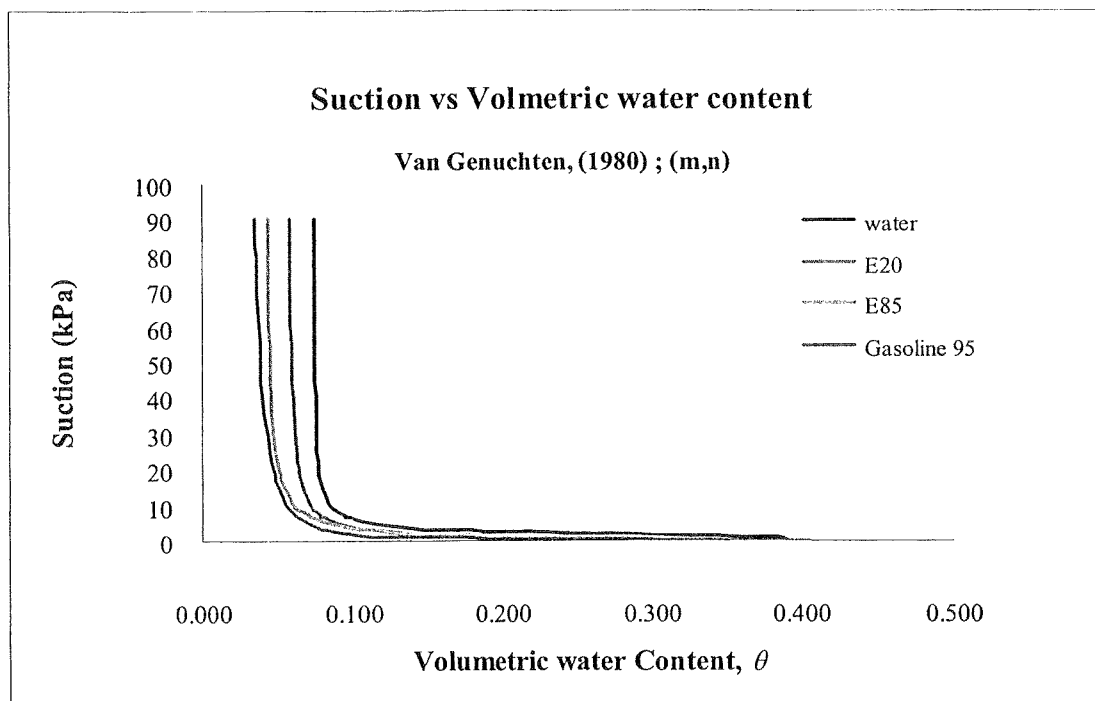
รูปที่ 3-22 กราฟแสดงผลแบบจำลองของเบนซิน 95 ระหว่าง Volumetric G95 content กับ Suction

เมื่อทราบตัวแปรที่ต้องการใช้ในสมการสามารถนำค่าที่ได้มาแสดงในแบบจำลองของ BC และ VG แล้ว การวิเคราะห์ผลว่าของเหลวชนิดใดที่มีการไอลพ่านดีที่สุดนั้นจะคุยกับปริมาณการตกค้างของเหลวซึ่งหากมีการตกค้างน้อยก็หมายความว่าการไอลพ่านนั้นจะดีกว่าของเหลวที่มีปริมาณการตกค้างมาก นี่เปรียบเทียบสมการ BC ต่อของเหลวทั้งหมดพบว่าของเหลวที่มีการไอลพ่านดีที่สุด คือ เบนซิน 95 รองลงมา คือ แก๊สโซล์ E85, แก๊สโซล์ E20 และน้ำ ตามลำดับ ดังตารางที่ 3-5 และ รูปที่ 3-23



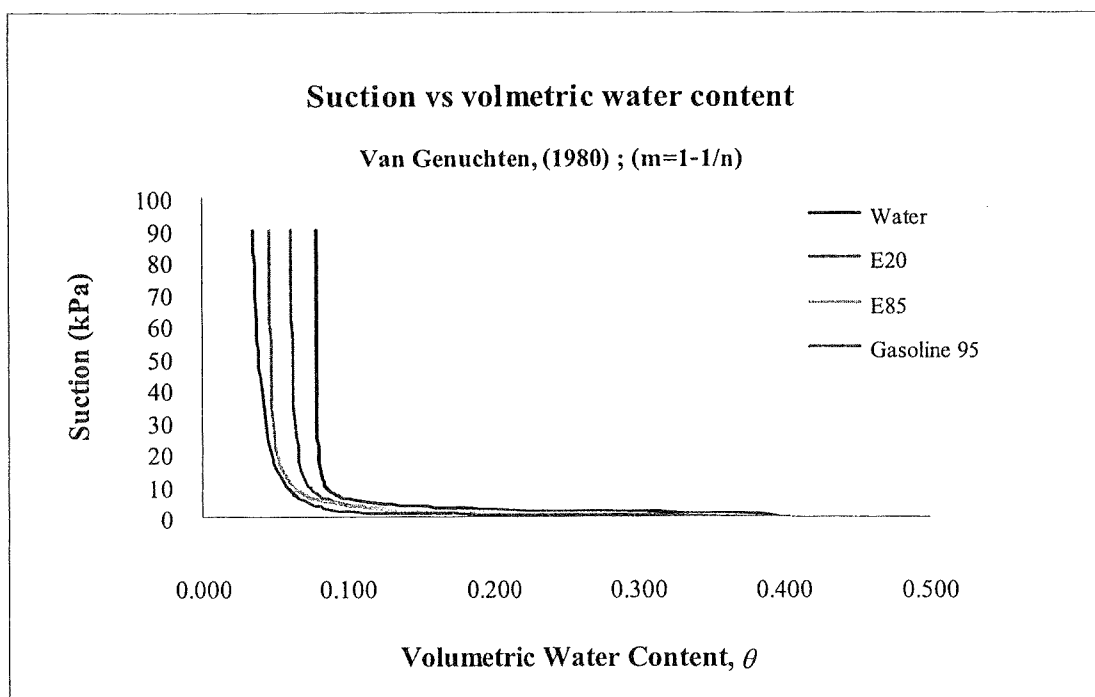
รูปที่ 3-23 กราฟแสดงผลแบบจำลอง BC ระหว่าง Volumetric water content กับ Suction ต่อของเหลว

เปรียบเทียบสมการ VG ; (m,n) ต่อของเหลวทั้งหมดพบว่า ของเหลวที่มีการไอลพ่านดีที่สุด คือ เบนซิน 95 รองลงมา คือ แก๊สโซล์ E85, แก๊สโซล์ E20 และน้ำ ตามลำดับ ดังรูปที่ 3-24



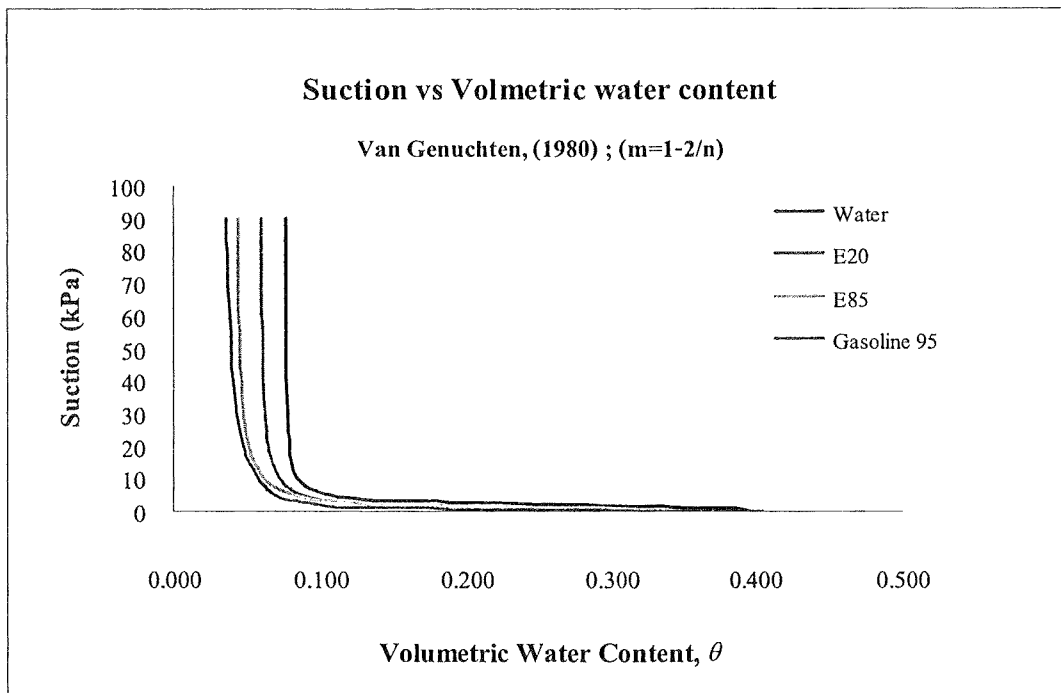
รูปที่ 3-24 กราฟแสดงผลแบบจำลอง VG ระหว่าง Volumetric water content กับ Suction ต่อของเหลว

เปรียบเทียบสมการ VG; ($m=1-1/n$) ต่อของเหลวทั้งหมดพบว่า ของเหลวที่มีการไหลดผ่านดีที่สุดคือ เบนซิน 95 รองลงมาคือ แก๊สโซล์ E85, แก๊สโซล์ E20 และน้ำ ตามลำดับ ดังรูปที่ 3-25



รูปที่ 3-25 กราฟแสดงผลแบบจำลอง VG ระหว่าง Volumetric water content กับ Suction ต่อของเหลว

เปรียบเทียบสมการ VG; ($m=1-2/n$) ต่อของเหลวทั้งหมดพบว่า ของเหลวที่มีการไหลผ่านดีที่สุดคือ เบนซิน 95รองลงมาคือ แก๊สโซล์ E85, แก๊สโซล์ E20 และน้ำ ตามลำดับ ดังรูปที่ 3-26



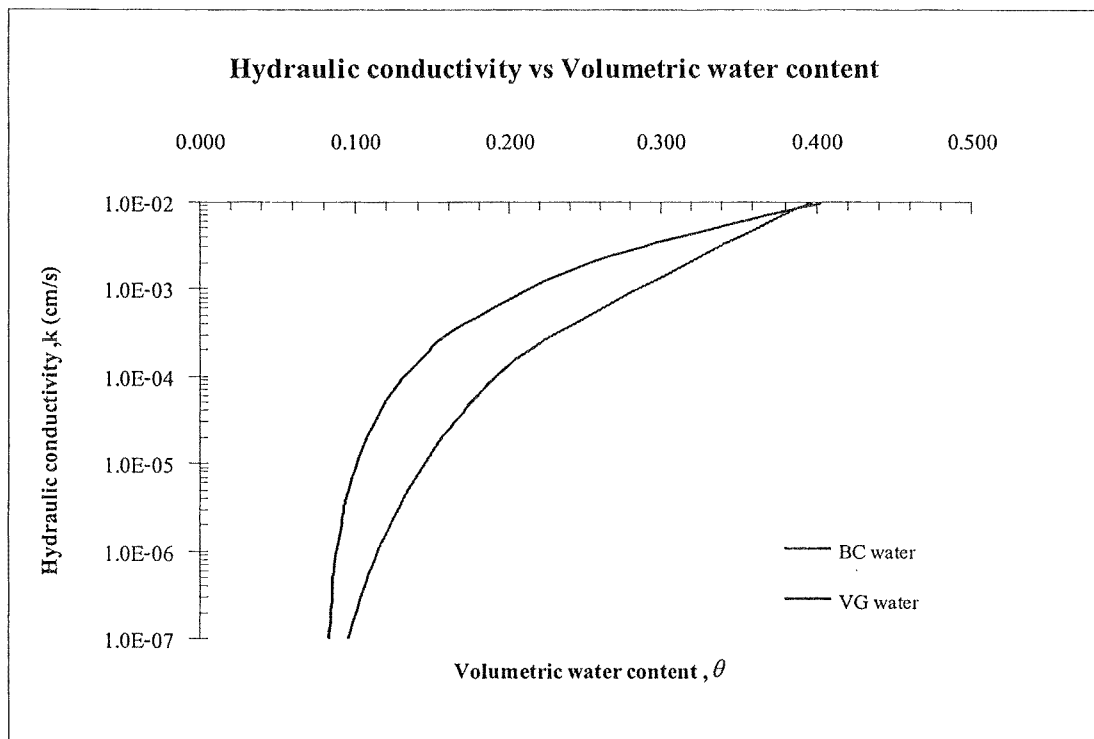
รูปที่ 3-26 กราฟแสดงผลแบบจำลอง VG ระหว่าง Volumetric water content กับ Suction ต่อของเหลว

ตารางที่ 3-5 แสดงปริมาณการตักค้างและความดันที่ทำให้อากาศเริ่มไหลออก

ตัวแปร	สมการ	น้ำ	E20	E85	เบนซิน 95
Residual Water content θ_r	BC	0.064	0.058	0.042	0.024
	VG ; (m,n)	0.075	0.059	0.042	0.024
	VG ; ($m=1-1/n$)	0.079	0.061	0.045	0.024
	VG ; ($m=1-2/n$)	0.077	0.059	0.043	0.024
Air-Entry ψ_b	BC	0.976	0.533	0.637	0.058
	VG ; (m,n)	1.439	0.536	0.638	0.058
	VG ; ($m=1-1/n$)	1.784	0.660	0.822	0.059
	VG ; ($m=1-2/n$)	1.586	0.575	0.701	0.058

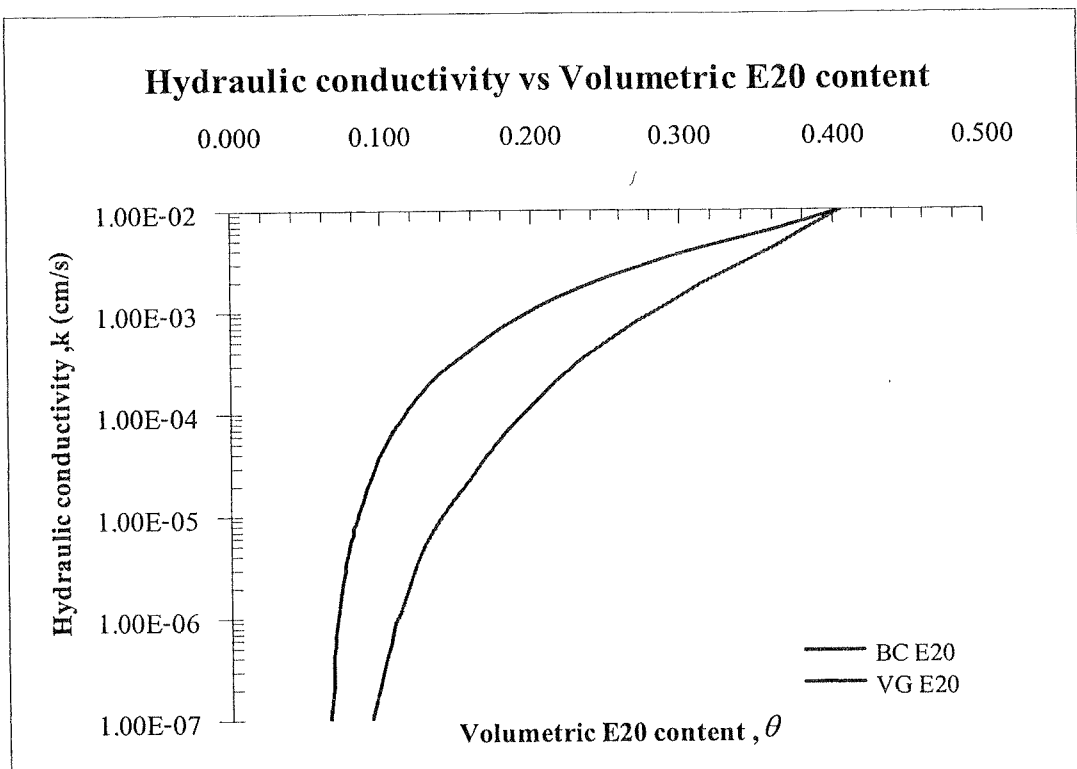
3.7.2 ผลการทดลองการซึมผ่าน

การทดลองการซึมผ่านจะทำการกำหนดปริมาตรที่ 250 ลบ.ซม ต่อการจับเวลา (วินาที) ในขณะที่ทำการทดลองทุกๆ 1 ครั้ง และผลการทดลองการซึมผ่านของของเหลวที่สูงที่สุด คือน้ำมันเบนซิน 95 รองลงมา คือ แก๊สโซเชล E20 น้ำ และแก๊สโซเชล E85 ตามลำดับ เปรียบเทียบของเหลวนิดน้ำกลั่นต่อสมการของ Campbell และ BM พบว่าให้ค่าที่ต่างกันโดยสมการของ BM มีค่าการซึมผ่านที่สูงกว่าสมการของ Campbell ดังรูปที่ 3-27



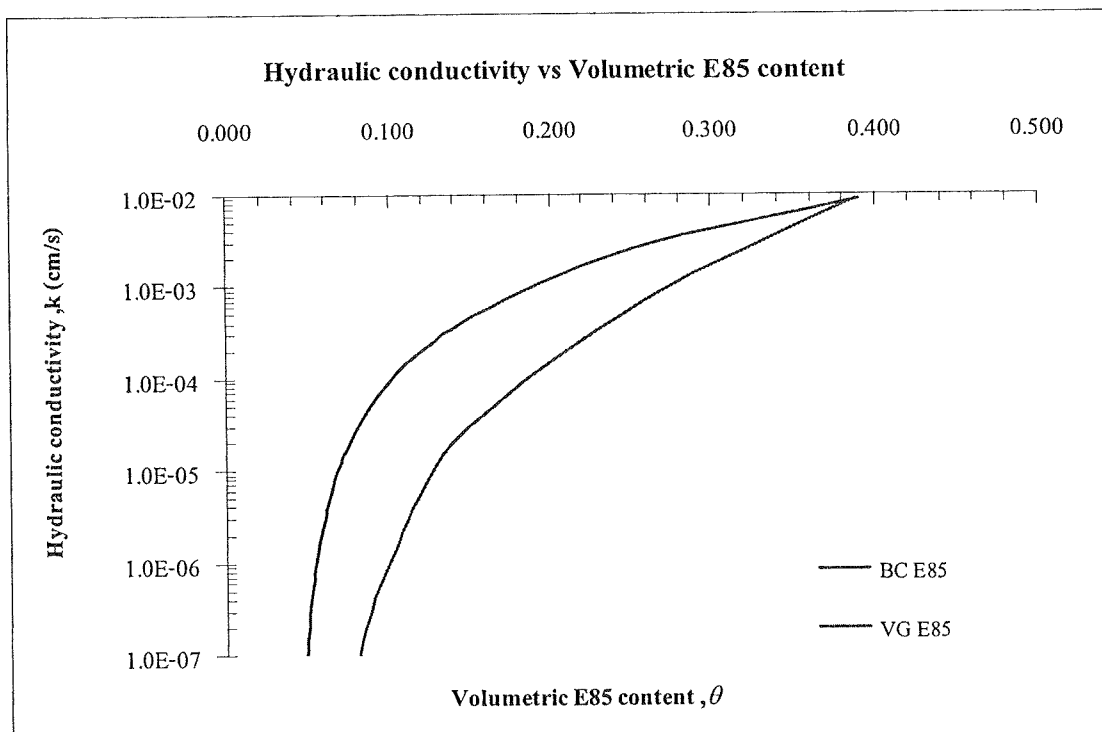
รูปที่ 3-27 กราฟแสดงผลแบบจำลอง Campbell และ BM ของน้ำระหัวว่าง k กับ θ

เปรียบเทียบของเหลวนิดแก๊สโซเชล E20 ต่อสมการทั้งสองสมการพบว่าให้ค่าที่ต่างกันโดยสมการของ BM มีค่าการซึมผ่านที่สูงกว่าสมการของ Campbell ดังรูปที่ 3-28



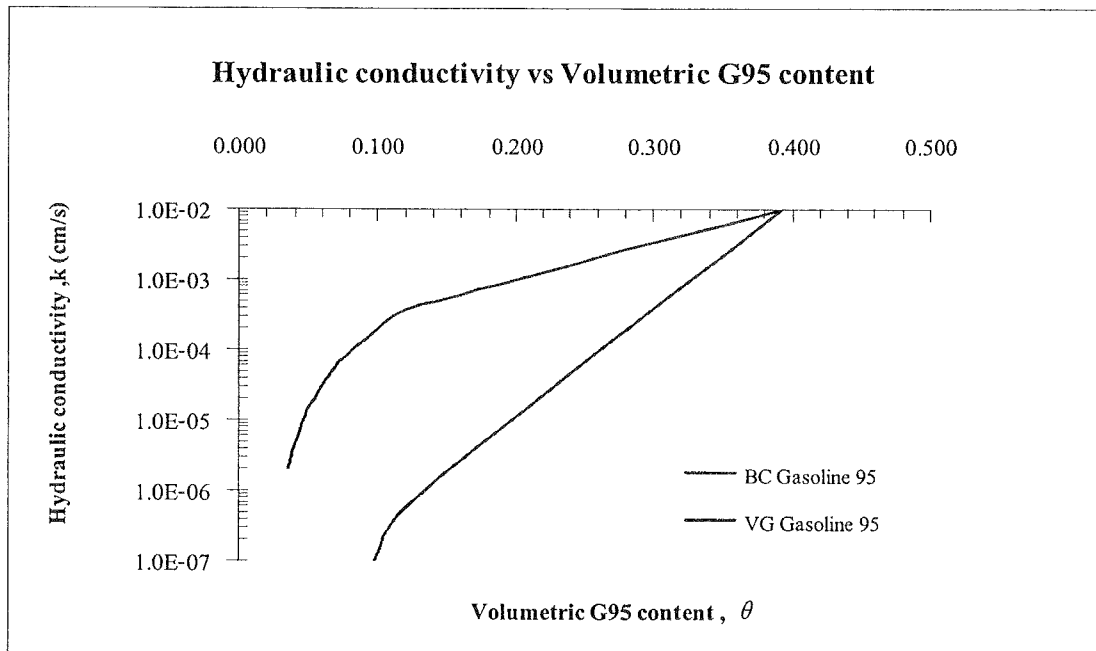
รูปที่ 3-28 กราฟแสดงผลแบบจำลอง Campbell และ BM ของ E20 ระหว่าง k กับ θ

เปรียบเทียบของเหลวชนิดแก๊สโซลูต E85 ต่อสมการหั้งสองสมการพบว่าให้ค่าที่ต่างกันโดยสมการของ BM มีค่าการซึมผ่านที่สูงกว่าสมการของ Campbell ดังรูปที่ 3-29



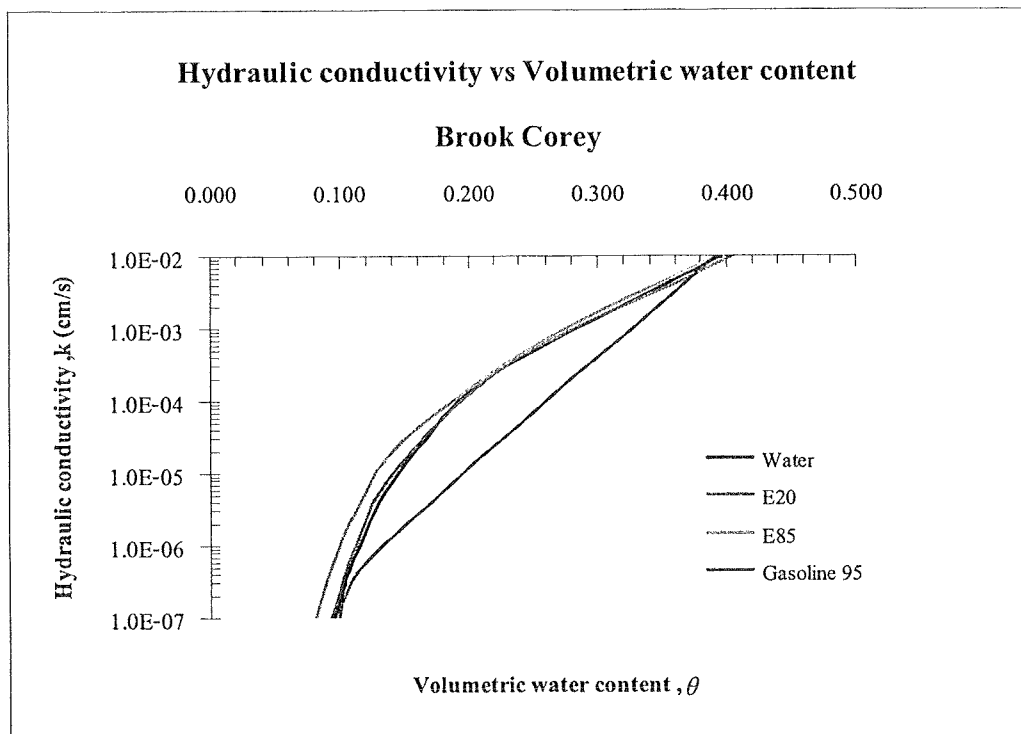
รูปที่ 3-29 กราฟแสดงผลแบบจำลอง Campbell และ BM ของ E85 ระหว่าง k กับ θ

เปรียบเทียบของเหลวชนิดเบนซิน 95 ต่อสมการทั่งสองสมการพบว่าให้ค่าที่ต่างกัน โดยสมการของ BM มีค่าการซึมผ่านที่สูงกว่าสมการของ Campbell ดังรูปที่ 3-30



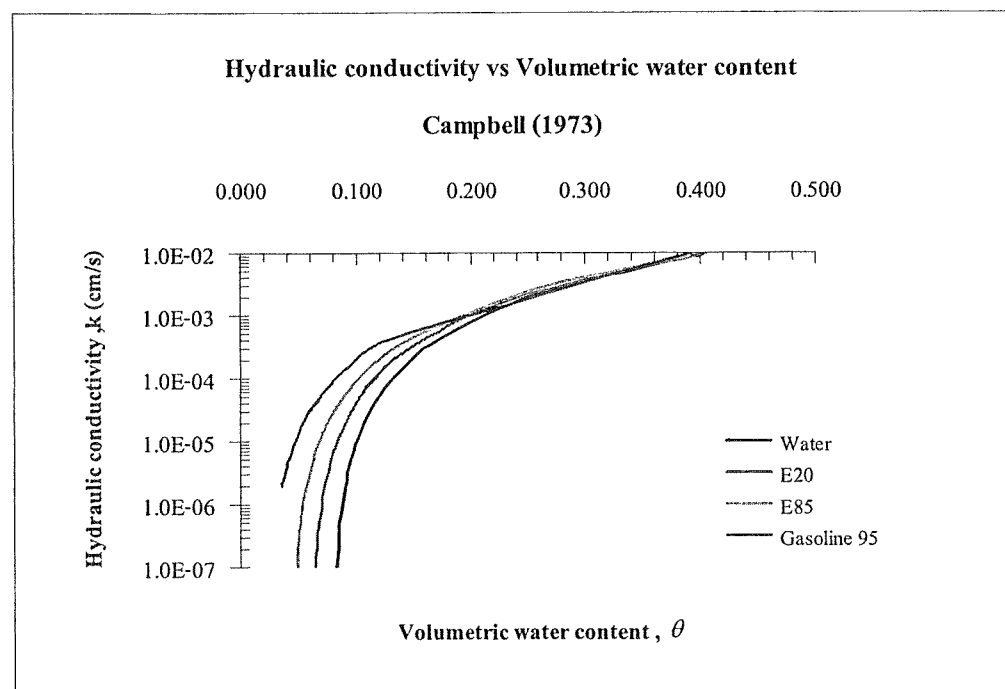
รูปที่ 3-30 กราฟแสดงผลแบบจำลอง Campbell และ BM ของ G95 ระหว่าง k กับ θ

เมื่อนำค่า k ของของเหลวทั้งหมดที่ได้มาเปรียบเทียบกับสมการของ Campbell พบว่าน้ำมันเบนซิน 95 มีการซึมผ่านที่สูงสุด รองลงมาคือน้ำมันแก๊สโซล E85, แก๊สโซล E20 และน้ำ ตามลำดับ ดังแสดงในรูปที่ 3-31



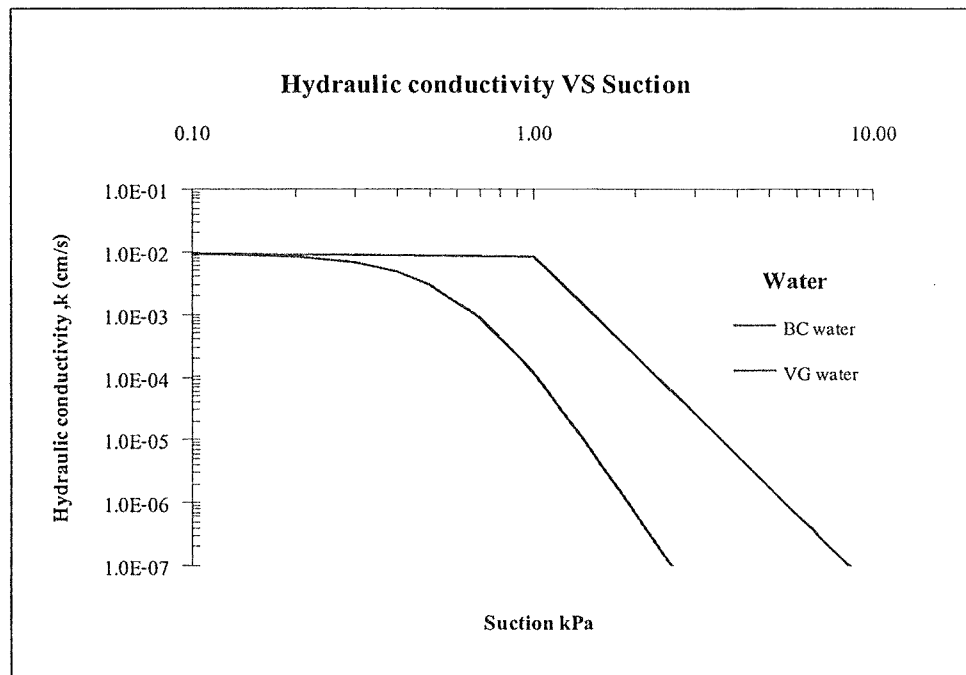
รูปที่ 3-31 กราฟแสดงผลแบบจำลอง Campbell ของของเหลว ระหว่าง k กับ θ

เมื่อนำค่า k ของของเหลวทั้งหมดที่ได้มาเปรียบเทียบกับสมการของ Campbell พบร้า้มันเบนซิน 95 มีการซึมผ่านได้สูงสุดรองลงมาคือ แก๊สโซลิน E85, แก๊สโซลิน E20, และน้ำ ตามลำดับ ดังแสดงในรูปที่ 3-32



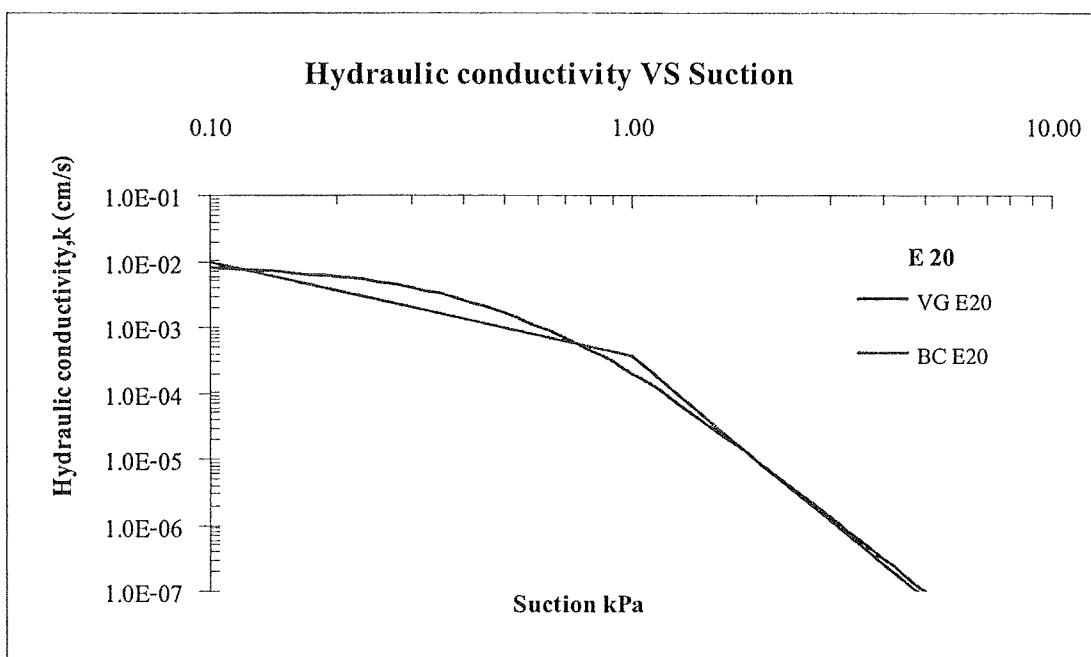
รูปที่ 3-32 กราฟแสดงแบบจำลอง BM ของของเหลว ระหว่าง k กับ θ

เปรียบเทียบของเหลวชนิดเบนซิน 95 ต่อสมการของ BC และ BM พบว่าให้ค่าที่ต่างกันโดยสมการของ BM มีค่าการซึมผ่านที่สูงกว่าสมการของ BC ดังรูปที่ 3-33



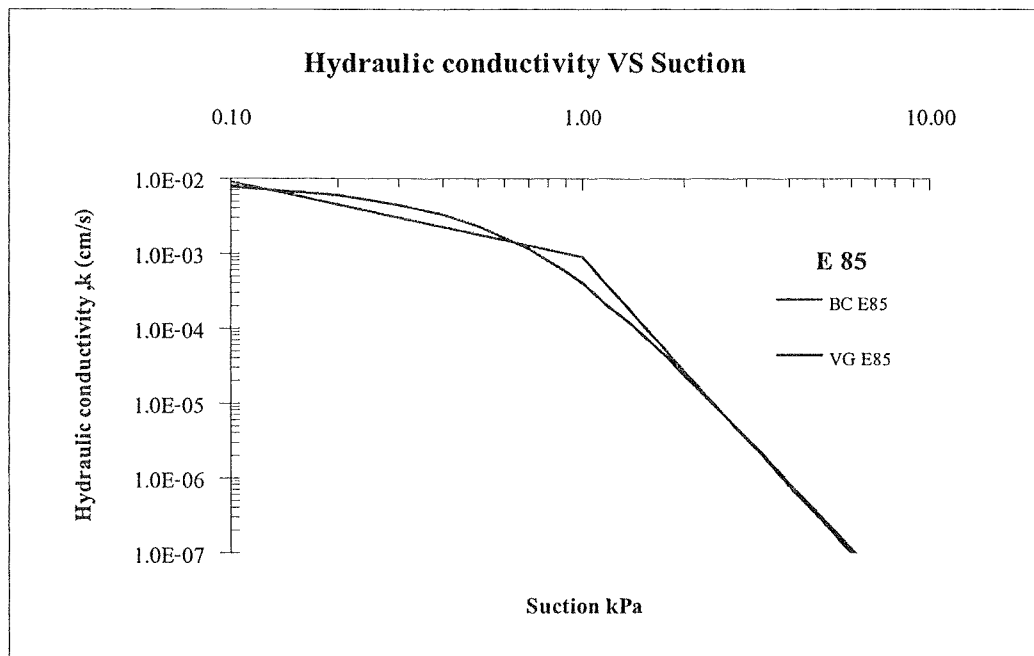
รูปที่ 3-33 กราฟแสดงผลของแบบจำลองของ BC และ BM ของน้ำระหว่าง k กับ ψ

เปรียบเทียบของเหลวชนิดน้ำมันแก๊สโซเชล E20 ต่อสมการทั้งสองสมการพบว่ามีค่าการซึมผ่านที่ใกล้เคียงกัน ดังรูปที่ 4.17



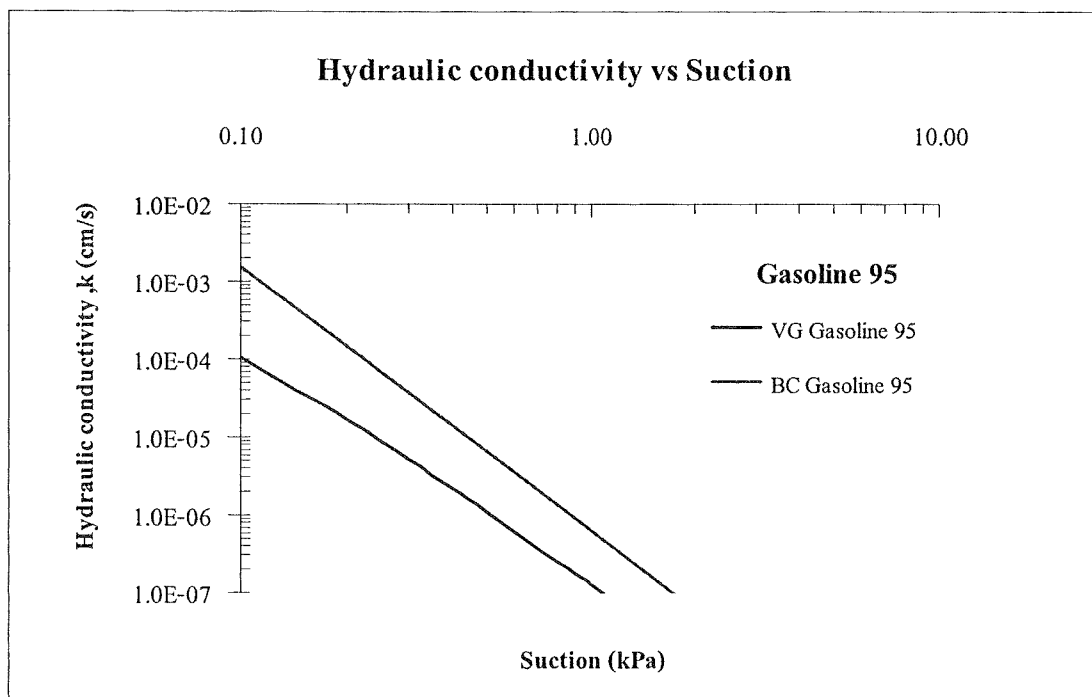
รูปที่ 3-34 กราฟแสดงผลของแบบจำลองของ BC และ BM ของ E20 ระหว่าง k กับ ψ

เปรียบเทียบ性能ของเหลวชนิดน้ำมันแก๊สโซล E85 ต่อสมการทั่งสองสมการพบว่าให้การซึมผ่านที่ไกล์เดิมกันมาก ดังรูปที่ 3-35



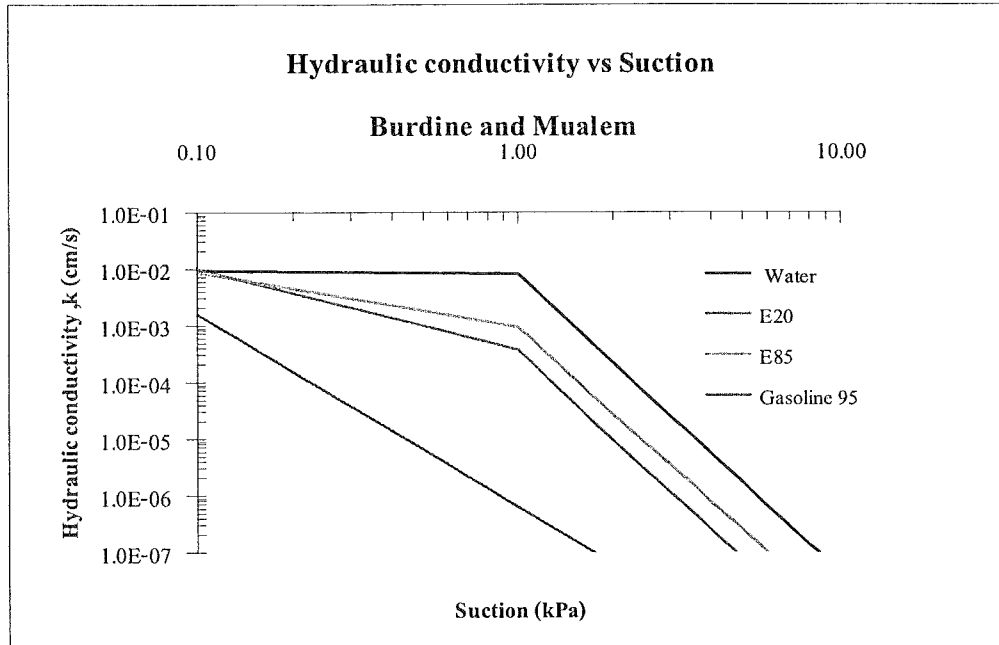
รูปที่ 3-35 กราฟแสดงผลของแบบจำลองของ BC และ BM ของ E85 ระหว่าง k กับ ψ

เมื่อเปรียบเทียบ性能ของเหลวชนิดน้ำมันเบนซิน 95 ต่อสมการทั่งสองสมการพบว่าให้การซึมผ่านที่ต่างกันเล็กน้อยโดยสมการของ BM มีค่าที่สูงกว่าสมการของ BC ดังรูปที่ 3-36



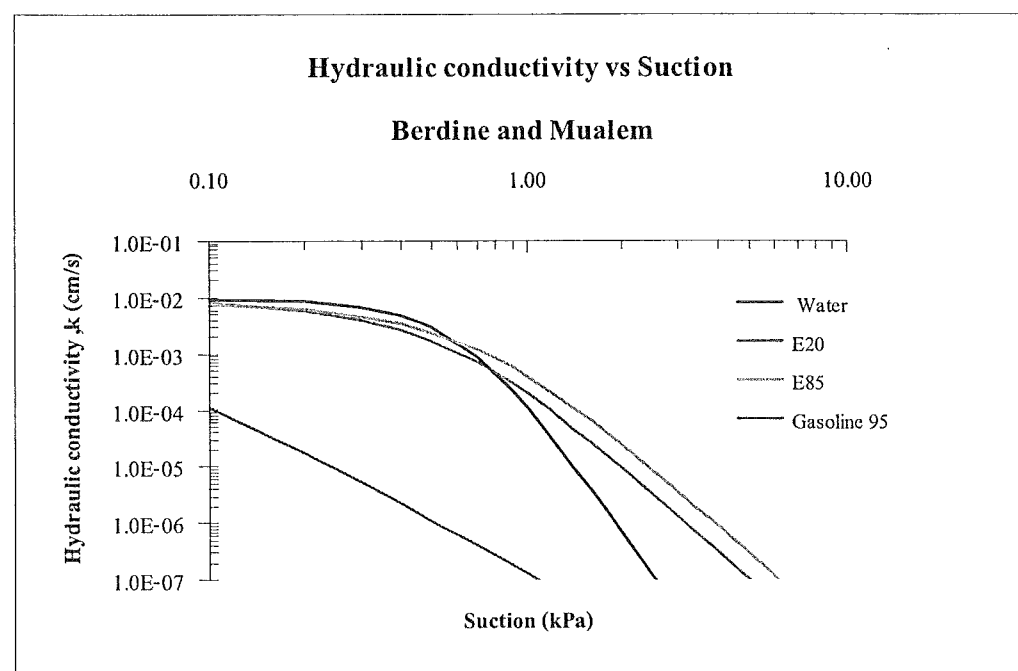
รูปที่ 3-36 กราฟแสดงผลของแบบจำลองของ BC และ BM ของเบนซิน 95 ระหว่าง k กับ ψ

เมื่อนำค่า k ของของเหลวทั้งหมดที่ได้มาเปรียบเทียบกับสมการของ BC พบร่วมน้ำมันเบนซิน 95 มีการซึมผ่านได้สูงสุด รองลงมาคือ แก๊สโซลิน E20, แก๊สโซลิน E85 และน้ำตามลำดับ ดังแสดงในรูปที่ 3-37



รูปที่ 3-37 กราฟแสดงผลของแบบจำลอง BC ของของเหลวทั้งหมดระหว่าง k กับ ψ

เมื่อนำค่า k ของของเหลวทั้งหมดที่ได้มาเปรียบเทียบกับสมการของ BM พบร่วมน้ำมันเบนซิน 95 มีการซึมผ่านได้สูงสุด รองลงมาคือ น้ำ, แก๊สโซลิน E20, และแก๊สโซลิน E85 ตามลำดับ ดังแสดงในรูปที่ 3-38



รูปที่ 3-38 กราฟแสดงผลของแบบจำลอง BM ของของเหลวทั้งหมดระหว่าง k กับ ψ

3.8 บทสรุป

การแสดงผลแบบจำลองของ Burdine (1953) and Mualem (1978) ซึ่งใช้ผลที่ได้จากการทดสอบใน实验室 van Genuchten (1980) โดยการใช้ตัวแปร m, n ที่อยู่ในกรณี $m = 1 - 1/n$ เนื่องจากให้การแสดงผลที่เป็นไปตามทฤษฎีอย่างใกล้เคียงที่สุด จากการศึกษาการไหลซึมผ่านของแก๊สโซล์ฟ่า�ทรรษจะสามารถทราบถึงคุณสมบัติการไหลซึมผ่านได้ดังนี้

- การศึกษาการไหลซึมผ่านทรรษที่สภาวะความดันต่างๆจากเส้นโค้งลักษณะเฉพาะของคินกันน้ำพบว่า เมื่อนำผลของของเหลวทั้งหมดมาแสดงโดยสมการของ Brook and Corey (BC), 1964 และ van Genuchten (VG), 1980 เมื่อ $(m, n), (m = 1 - 1/n), (m = 1 - 1/2n)$ ได้ค่าที่ใกล้เคียงกับทฤษฎีที่ใช้ในผลการทดลอง จึงหมายแก่การนำสมการนี้ไปใช้
- ผลที่ได้จากการของ BC ของเหลวที่มีการไหลผ่านได้ดีที่สุดคือ เบนซิน 95 รองลงมาคือ น้ำมันแก๊สโซล์ E85, น้ำมันแก๊สโซล์ E20, และน้ำ แล้วจากสมการของ VG ทั้งสามกรณี ของเหลวที่มีการไหลผ่านได้ดีที่สุด คือ เบนซิน 95 รองลงมาคือ น้ำมันแก๊สโซล์ E85, น้ำมันแก๊สโซล์ E20, และน้ำ ซึ่งผลที่ได้ของทั้งหมดนี้ให้ผลในลักษณะเดียวกัน โดยการไหลผ่านที่ดีที่สุดของของเหลวนี้ จะสามารถทราบได้จากเส้นโค้งลักษณะเฉพาะของคินกันน้ำซึ่งได้จากค่าปริมาณการตกค้างของของเหลวในชั้นคินและค่าความดันที่ทำให้ของเหลวเริ่มไหลผ่าน
- ค่าปริมาณการตกค้างที่ได้ของ BC และ VG ได้ผลในลักษณะเดียวกันคือ ปริมาณการตกค้างของน้ำมีค่ามากที่สุด รองลงมาก็คือ แก๊สโซล์ E20 แก๊สโซล์ E85 และเบนซิน 95 ที่มีปริมาณการตกค้างน้อยที่สุด และค่าความดันที่ทำให้ของเหลวเริ่มไหลผ่านได้มากที่สุด คือ น้ำ แก๊สโซล์ E85 แก๊สโซล์ E20 และน้ำมันเบนซิน 95 ซึ่งค่าปริมาณการตกค้างจะมีความสัมพันธ์กันโดยหากมีค่าความดันที่ทำให้ของเหลวเริ่มไหลผ่านมาก ค่าปริมาณการตกค้างของของเหลวจะมากตามไปด้วย จึงแสดงได้ว่า ของเหลวนิดนั้นมีการไหลซึมผ่านได้ไม่ดี
- ผลที่ได้จากการทดลองการไหลซึมผ่านในขณะที่คินอยู่ในสภาพอิ่มน้ำ 100 % (k_s) ของเหลวที่มีการซึมผ่านได้ดีที่สุดคือ เบนซิน 95 รองลงมาคือ แก๊สโซล์ E20, น้ำ และแก๊สโซล์ E85 และจะนำผลที่ได้ไปหาค่าสัมประสิทธิ์การไหลซึมผ่านได้หรือความนำทางชลศาสตร์ (Hydraulic conductivity, k) โดยสมการเปรียบเทียบระหว่างค่าสัมประสิทธิ์การไหลซึมผ่านได้กับปริมาตรของของเหลวในคิน (Volumetric water content) ของ Brook and Corey (1964), สมการเปรียบเทียบระหว่างค่าสัมประสิทธิ์การไหลซึมผ่านได้กับค่าการดูด (Suction) ของ Campbell (1973) โดยใช้ผลที่ได้จากการของ BC (1964) และสมการเปรียบเทียบค่าทั้งสองของ Burdine (1953) and Mualem (1978) โดยใช้ผลที่ได้จากการของ VG (1980)
- เมื่อใช้สมการของทั้ง BC (1964) และ Burdine (1953) and Mualem (1978) เปรียบเทียบระหว่างค่าสัมประสิทธิ์การไหลซึมผ่านได้ (k) กับปริมาตรของของเหลวในคิน (θ) โดยได้ผลในลักษณะเดียวกันคือ เบนซิน 95 มีค่าสัมประสิทธิ์การไหลซึมผ่านได้ดีที่สุด รองลงมาคือ น้ำมันแก๊สโซล์ E85, แก๊ส

โซล์ E20, และน้ำ หากนำผลที่ได้เปรียบเทียบกับปริมาณการตอกค้างจะสามารถแสดงความสัมพันธ์ที่สอดคล้องกับผลการไอลพ่าน คือ การไอลพ่านที่มีปริมาณการตอกค้างน้อยที่สุด ก็จะมีค่าสัมประสิทธิ์การไอลซึ่งผ่านได้สูงเช่นเดียวกัน

- เมื่อใช้สมการของทั้ง Campbell (1973) และ Burdine (1953) and Mualem (1978) เปรียบเทียบระหว่างค่าสัมประสิทธิ์การไอลซึ่งผ่านได้ (k) กับค่าการดูด (ψ) โดยได้ผลในลักษณะเดียวกันคือ เมนซิน 95 มีค่าสัมประสิทธิ์การไอลซึ่งผ่านได้สูงรองลงมาคือ น้ำมันแก๊สโซล์ E20, แก๊สโซล์ E85, และน้ำตามลำดับ หากนำผลที่ได้เปรียบเทียบกับค่าความดันอากาศที่ทำให้ของเหลวเริ่มไอลพ่านจะสามารถแสดงความสัมพันธ์ที่สอดคล้องกับผลการไอลพ่าน คือ การไอลพ่านที่มีความดันอากาศที่ทำให้ของเหลวเริ่มไอลพ่านน้อยที่สุดนั้น ก็จะมีค่าสัมประสิทธิ์การไอลซึ่งผ่านได้สูงเช่นเดียวกัน
- ค่าการไอลพ่านและการซึ่มผ่านของผลการทดลองระหว่าง แก๊สโซล์ E20 กับแก๊สโซล์ E85 อาจมีความคลาดเคลื่อนกัน อันเนื่องมาจากค่าที่ต่างกันเพียงเล็กน้อยของสารประกอบชนิดเดียวกันในน้ำมันที่มีจึงสามารถยอมรับสรุปผลที่ได้